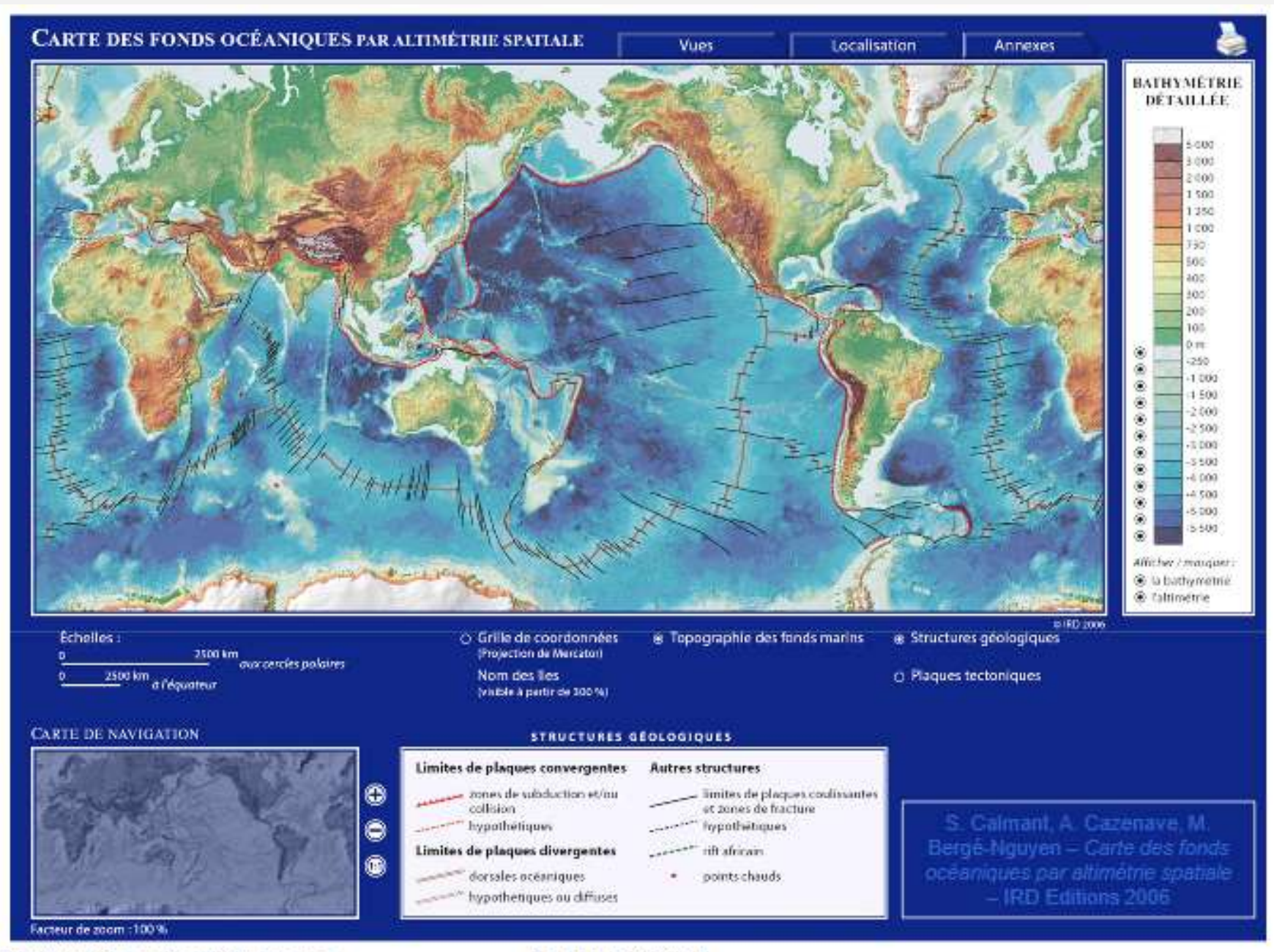


TP ST – F2 Magmatisme 2

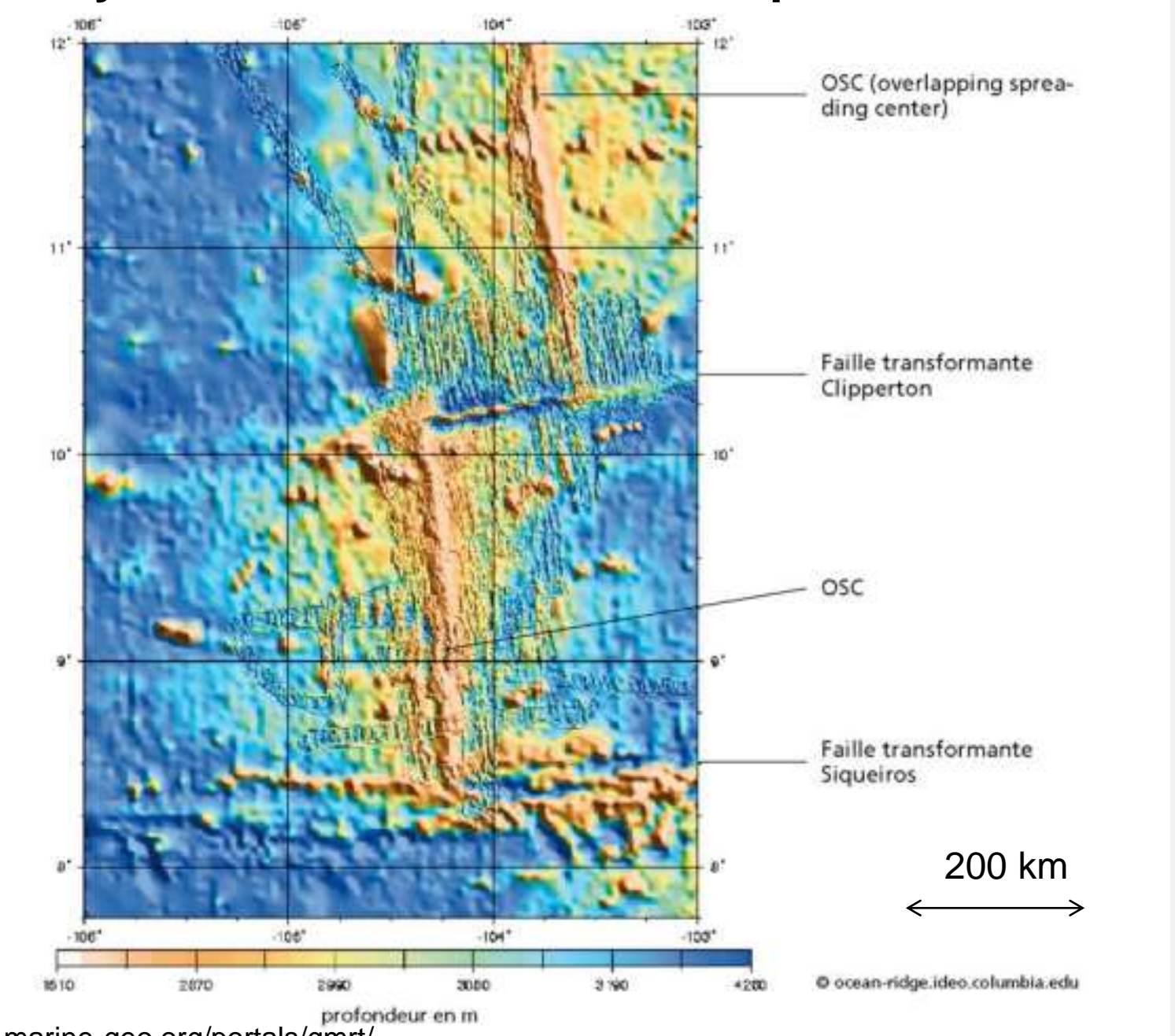
Magmatisme et contextes géodynamiques



L'océan

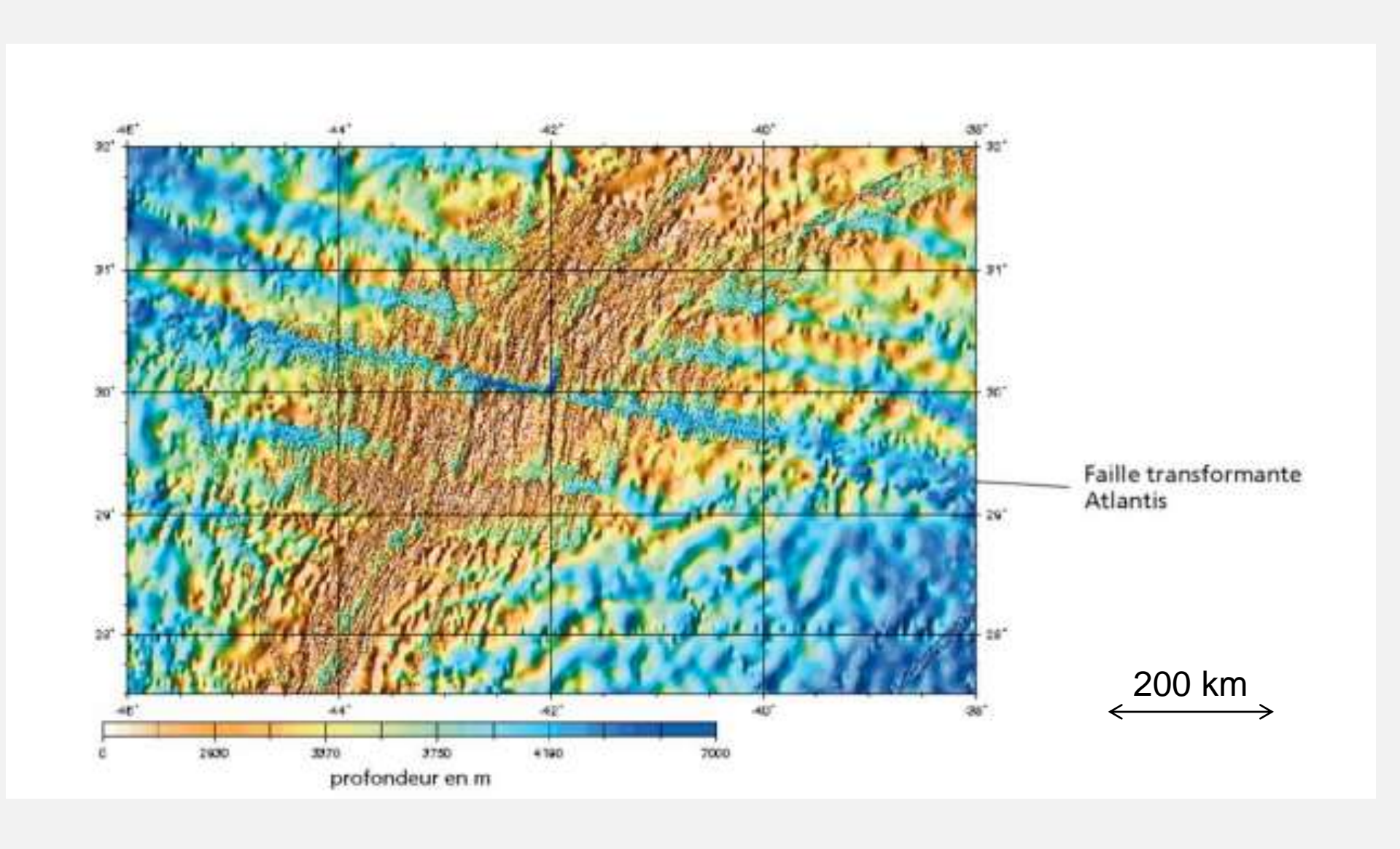


Bathymétrie de la ride Est-Pacifique entre 8° et 12 ° N

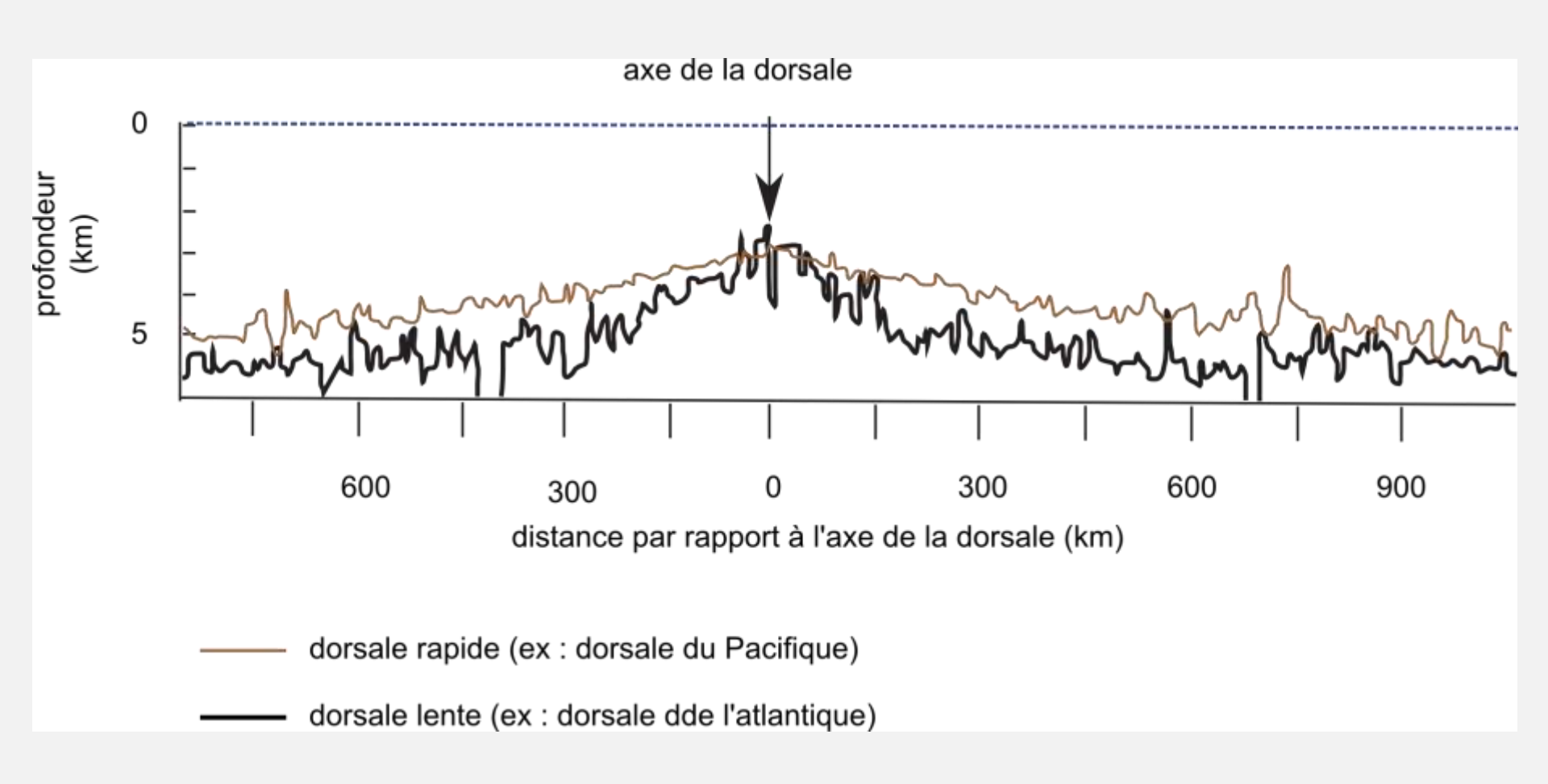


http://www.marine-geo.org/portals/gmrt/

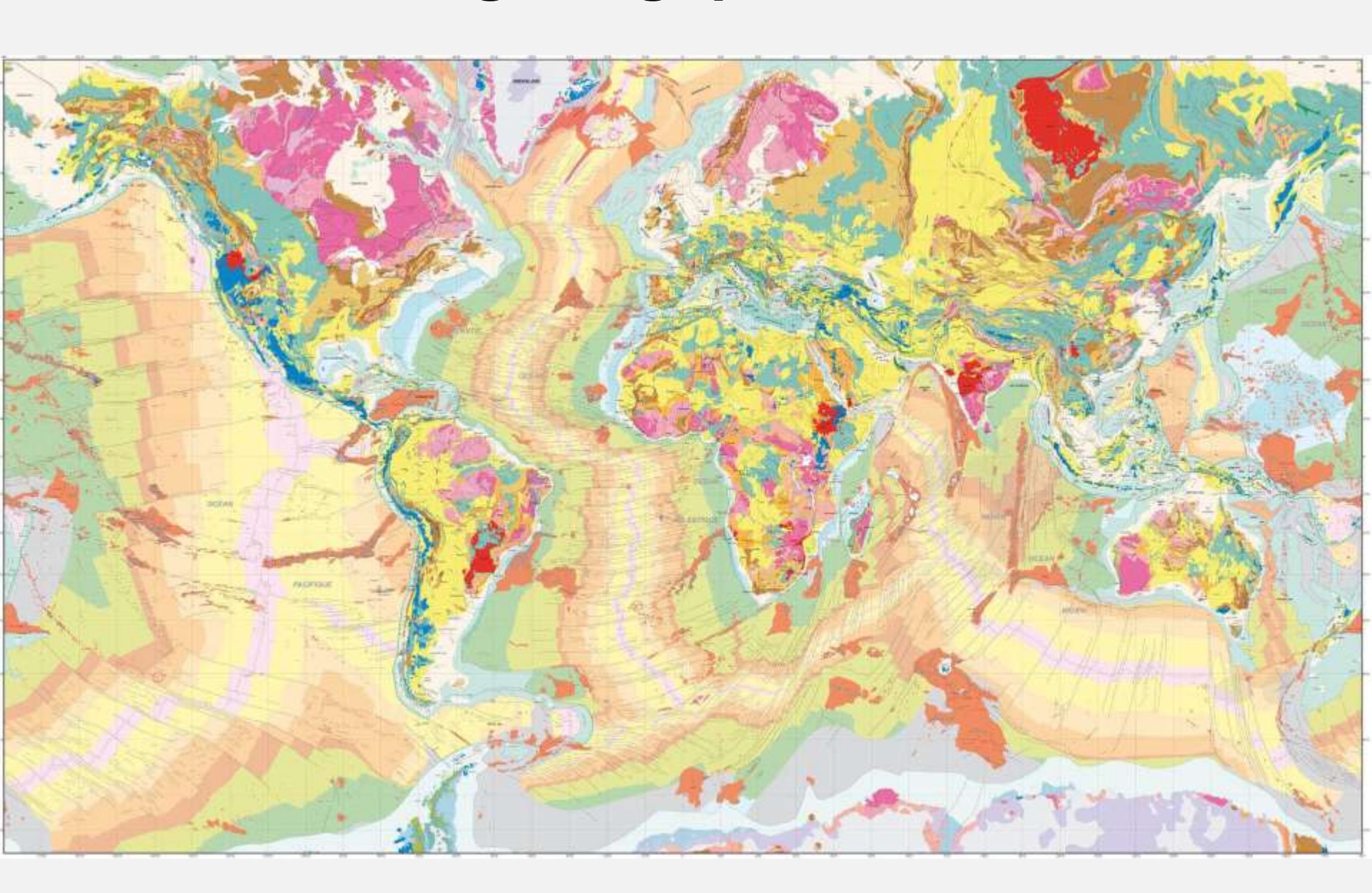
Bathymétrie de la ride médio-Atlantique entre 23° et 28 ° N



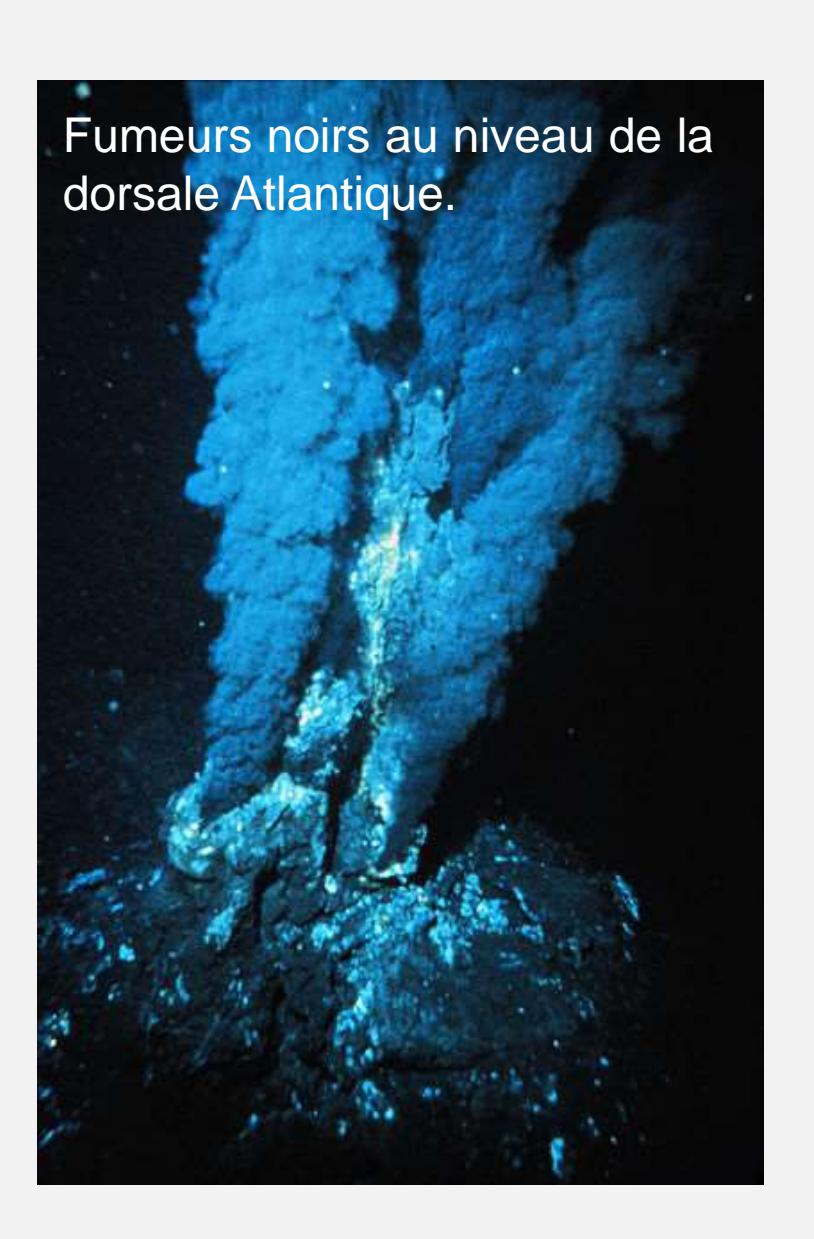
Profils bathymétriques simplifiés de deux dorsales



Carte géologique du monde



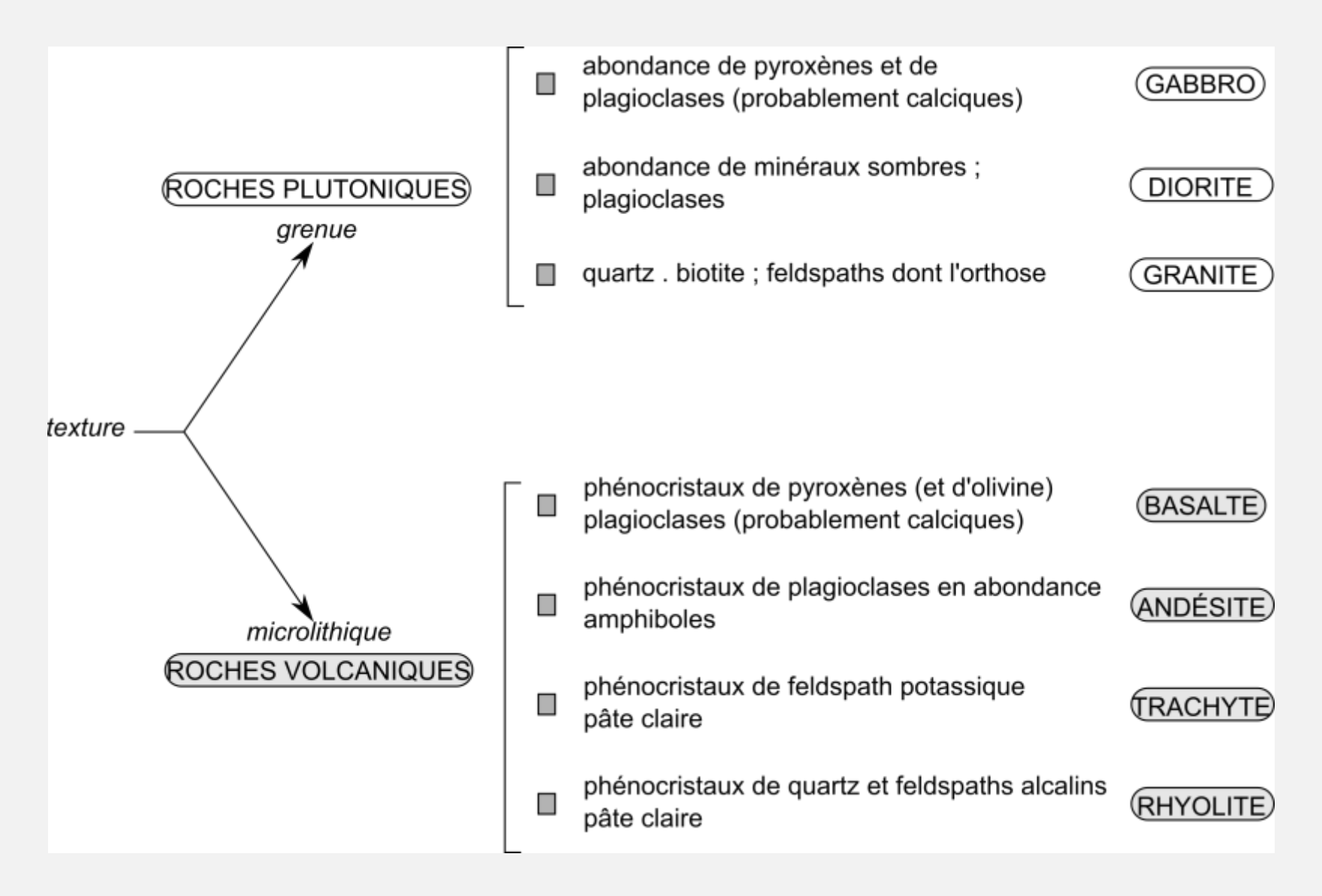
Les manifestations du volcanisme des dorsales

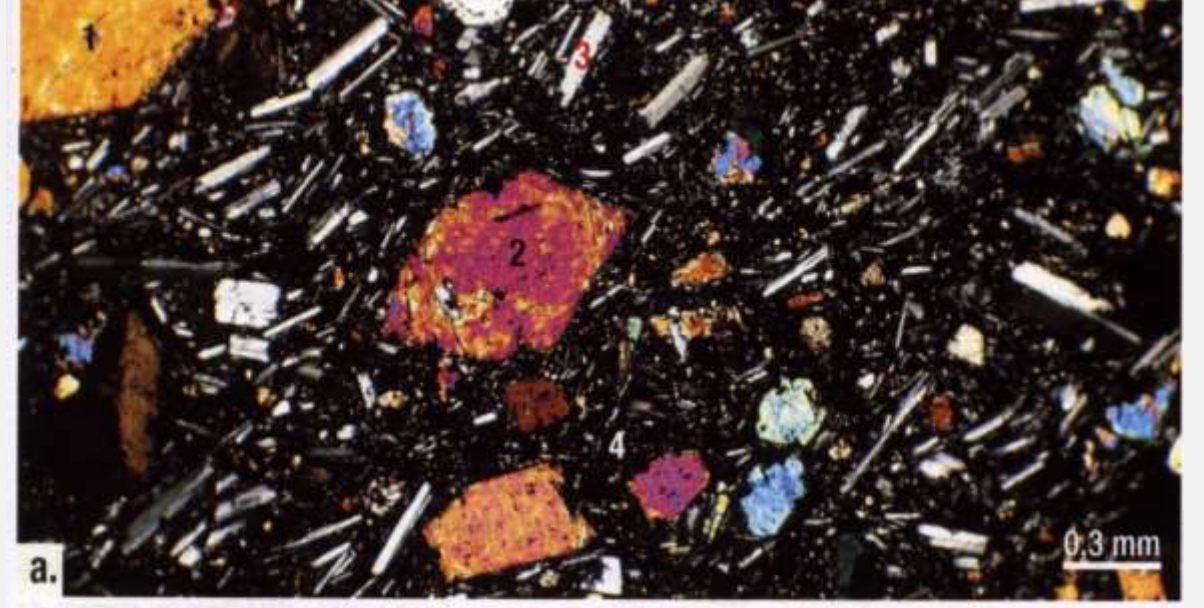




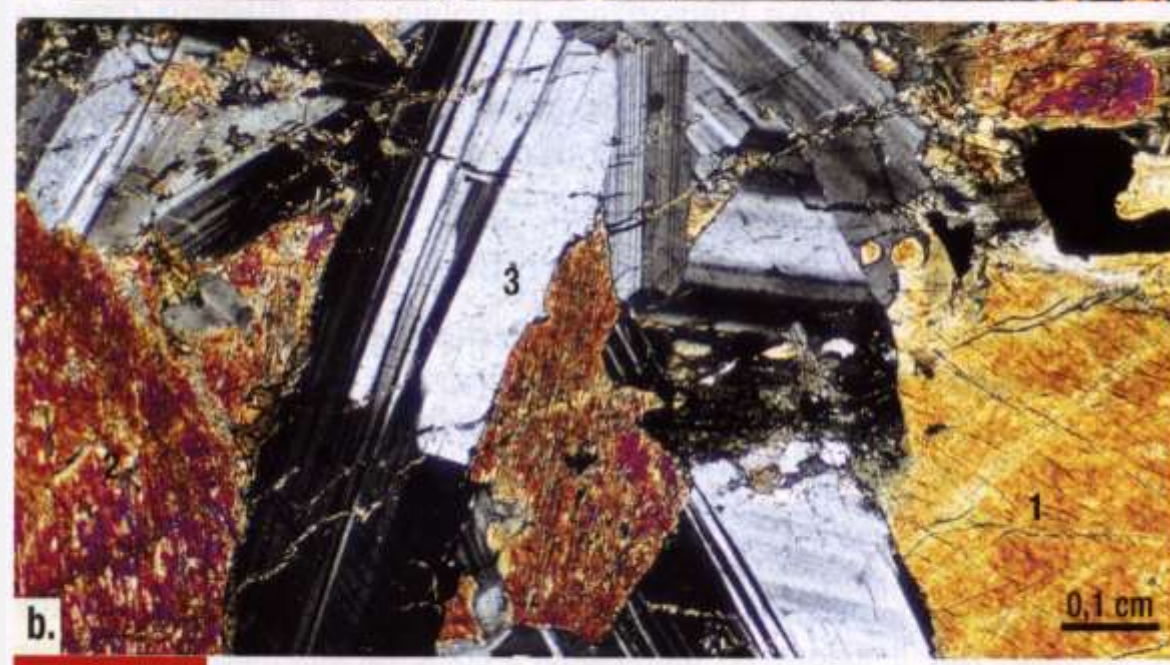


<u>Document 1</u>. Clé de détermination simplifiée des roches magmatiques.





Les roches magmatiques de dorsale



Lames minces d'un basalte (a.) et d'un gabbro (b.) observées au microscope optique en lumière polarisée analysée.

1. Pyroxène (Mg,Fe)SiO₃ 2. Olivine (Mg,Fe)₂SiO₄ 3. Plagioclase CaAl₂Si₂O₈ 4. Verre

<u>Document 5.</u> Analyses chimiques représentatives de roches mantelliques et d'un basalte océanique.

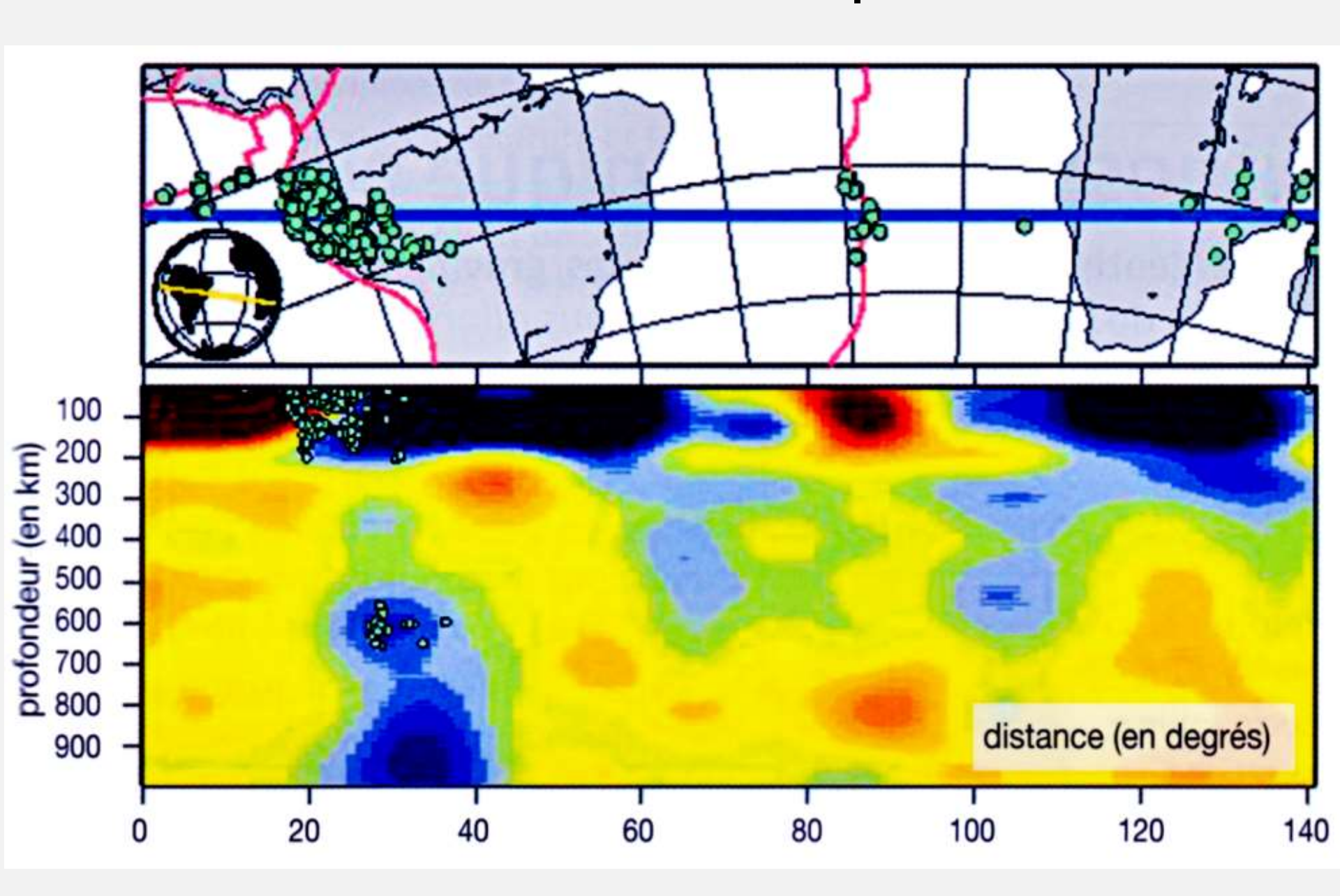
	Harzburgite ophiolitique	Lherzolite	Basalte océanique
SiO ₂	42,3	45,3	47,1
TiO ₂	0,1	0,2	2,3
Al_2O_3	0,5	3,6	14,2
Fe ₂ O ₃₊ FeO	7,1	7,3	11
MnO	0,1	0,1	0,2
MgO	49,6	41,3	12,7
CaO	0,1	1,9	9,9
Na ₂ O	0,1	0,2	2,2
K ₂ O	0,005	0,1	0,4

Calcul des coefficients de distribution

	Solide résiduel	Solide initial	Liquide	
	Harzburgite ophiolitique	Lherzolite	Basalte océanique	Di
SiO ₂	42,3	45,3	47,1	0,90
TiO ₂	0,1	0,2	2,3	0,04
Al_2O_3	0,5	3,6	14,2	0,04
Fe ₂ O ₃₊ FeO	7,1	7,3	11	0,65
MnO	0,1	0,1	0,2	0,50
MgO	49,6	41,3	12,7	3,91
CaO	0,1	1,9	9,9	0,01
Na ₂ O	0,1	0,2	2,2	0,05
K ₂ O	0,005	0,1	0,4	0,01

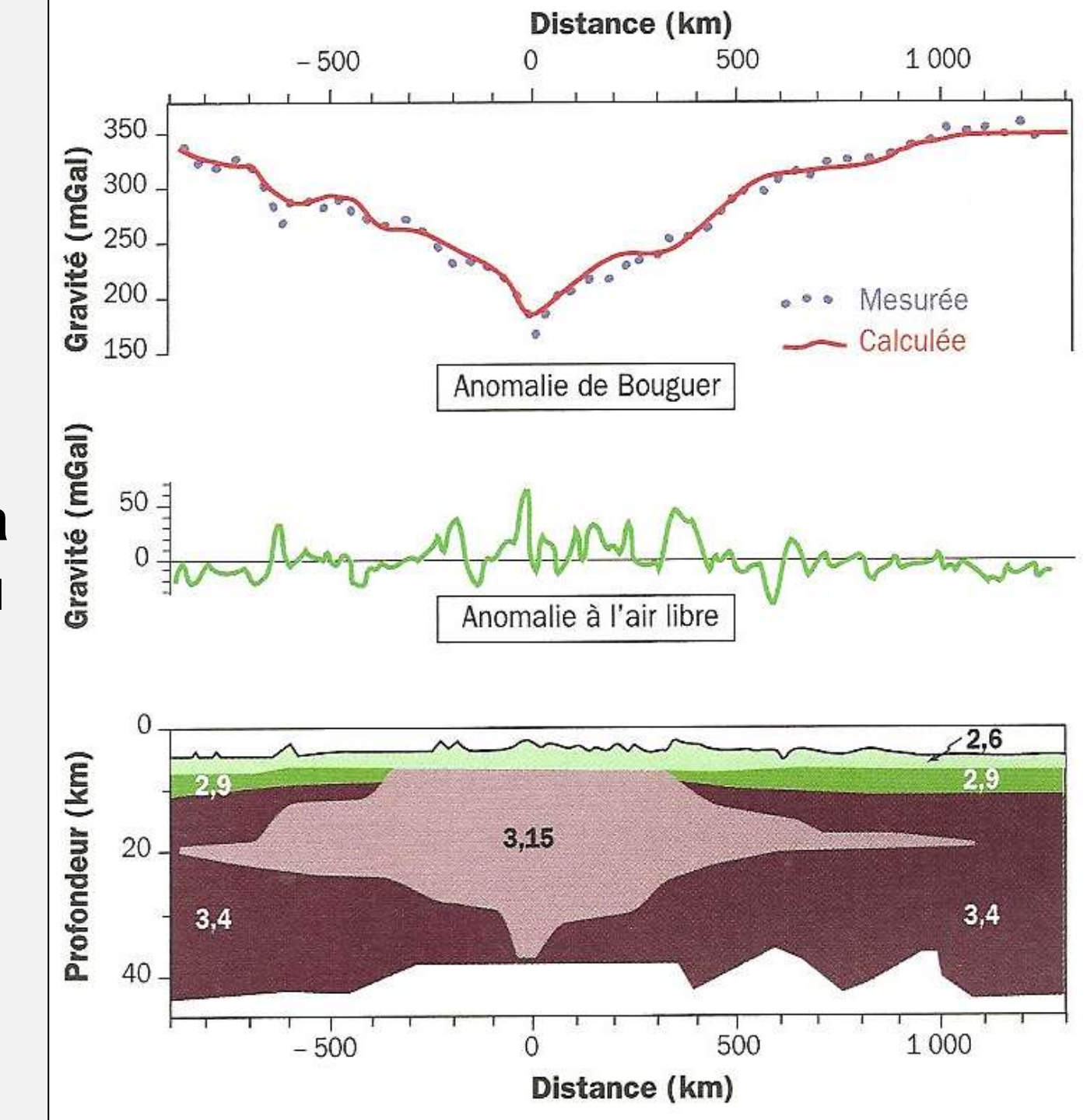
incompatibles

Coupes tomographiques de l'Océan Atlantique et du l'Est du Pacifique

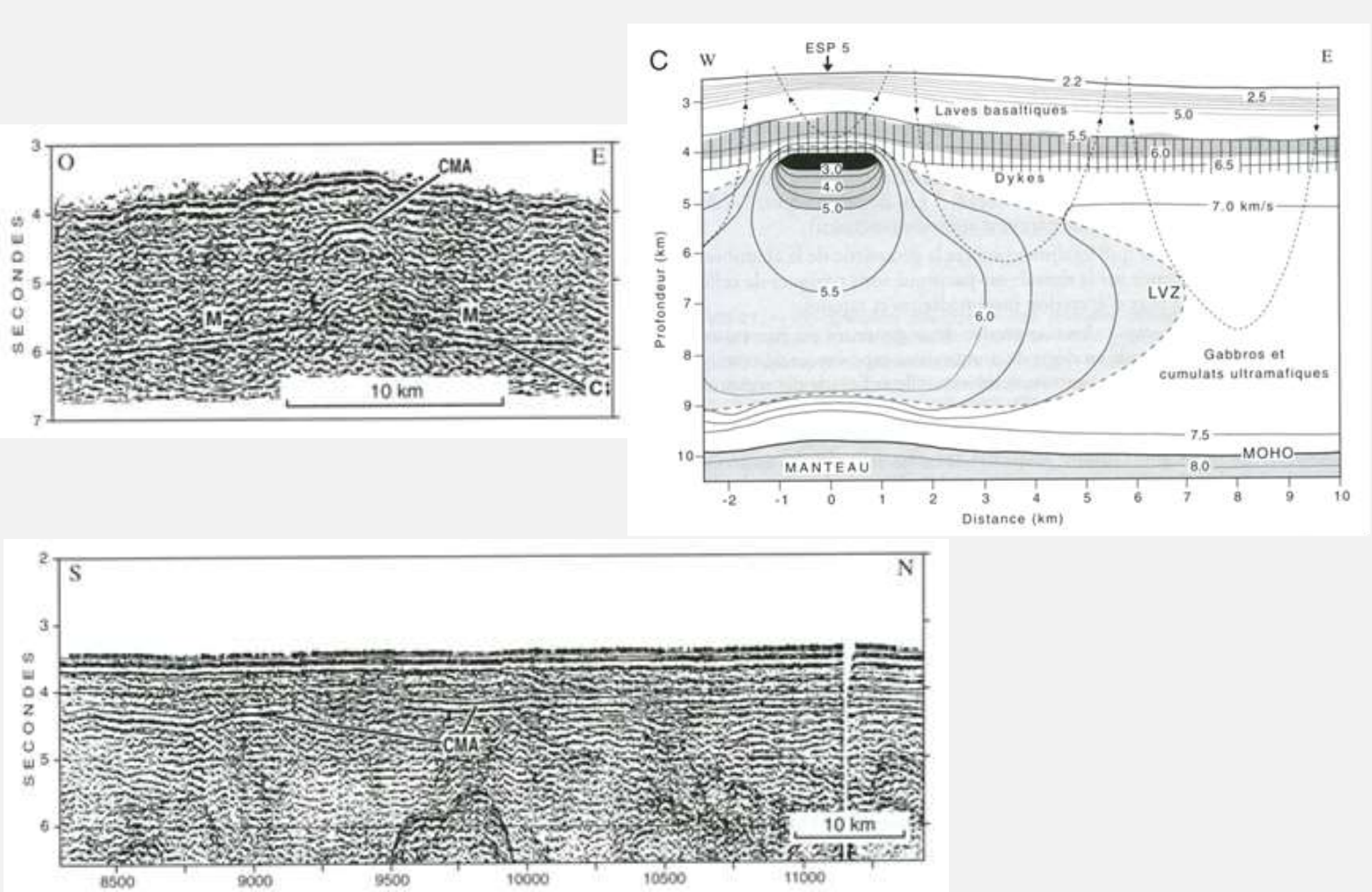


Anomalies de gravité et structure de la lithosphère au niveau de la dorsale **Atlantique** (32°N).

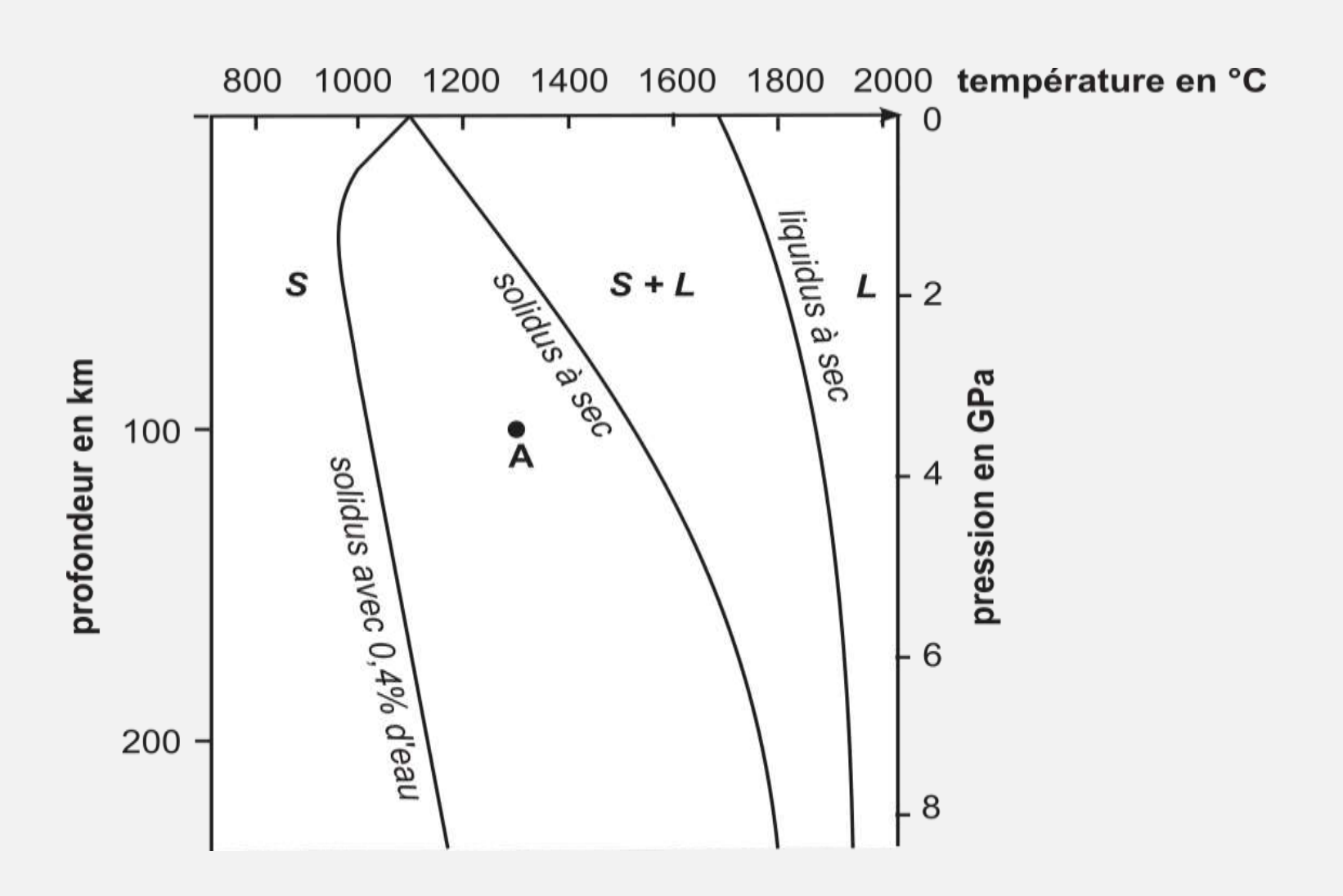
(C. Robert et R. Bousquet « Géociences : la dynamique du système Terre » Belin, 2013).



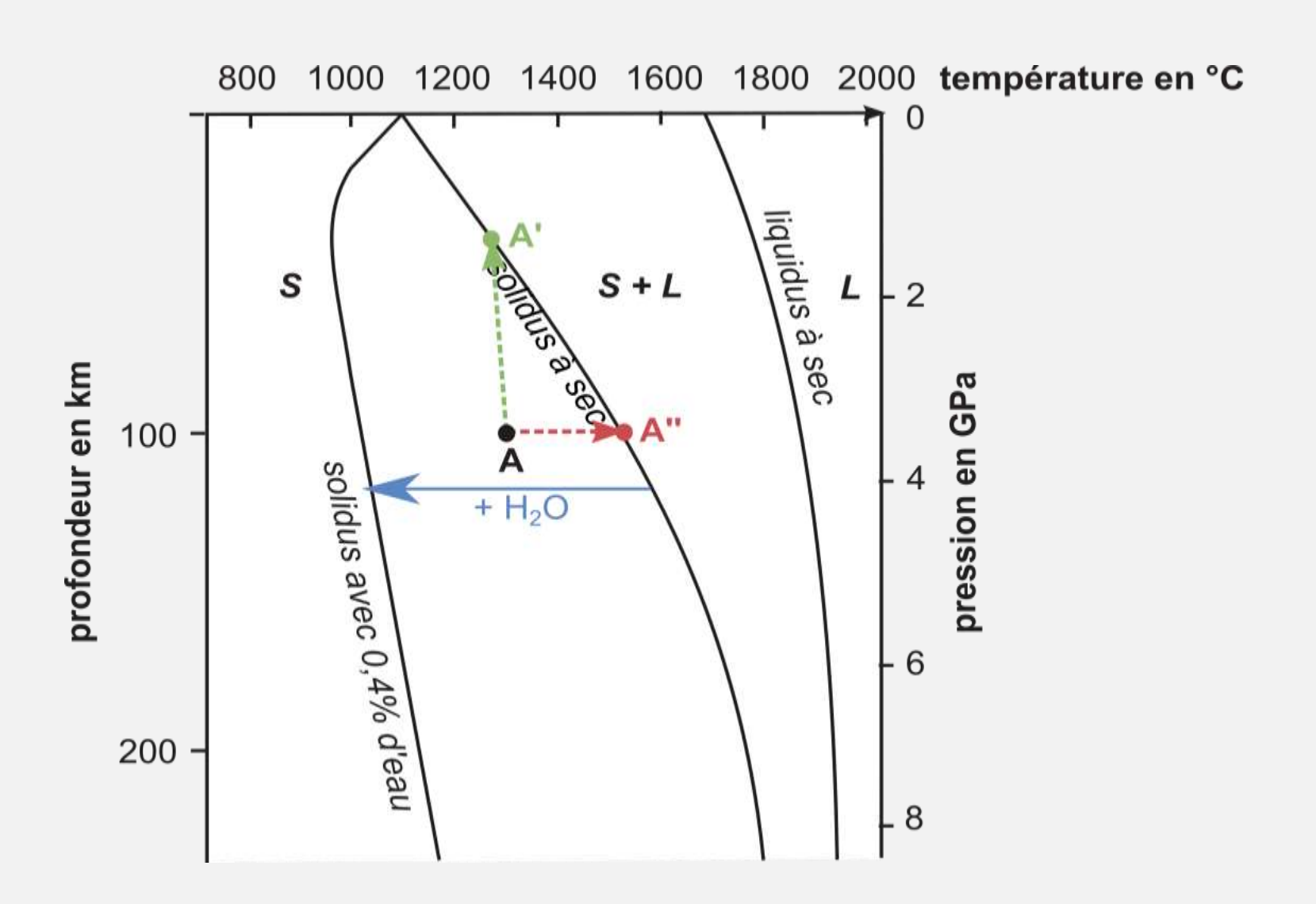
Images sismiques de la dorsale est-pacifique et modèle de vitesse des ondes P



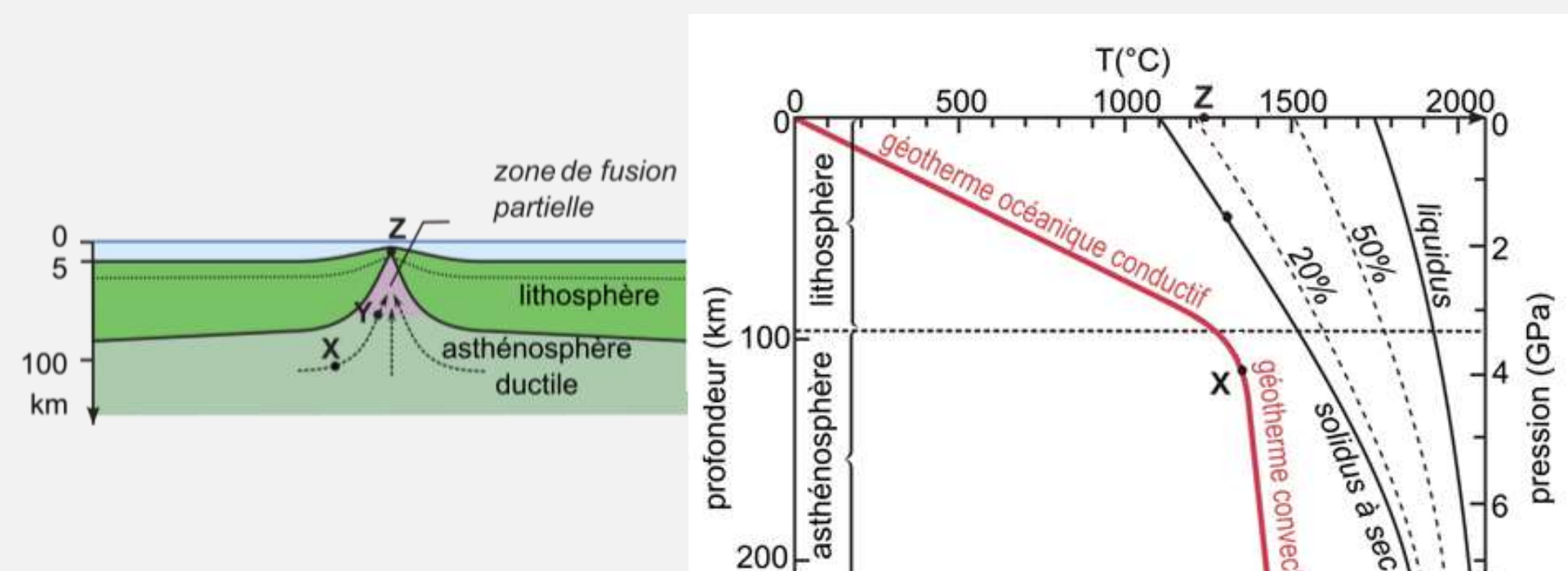
Document 2. Solidus et liquidus d'une lherzolite.



Document 2. Solidus et liquidus d'une lherzolite.



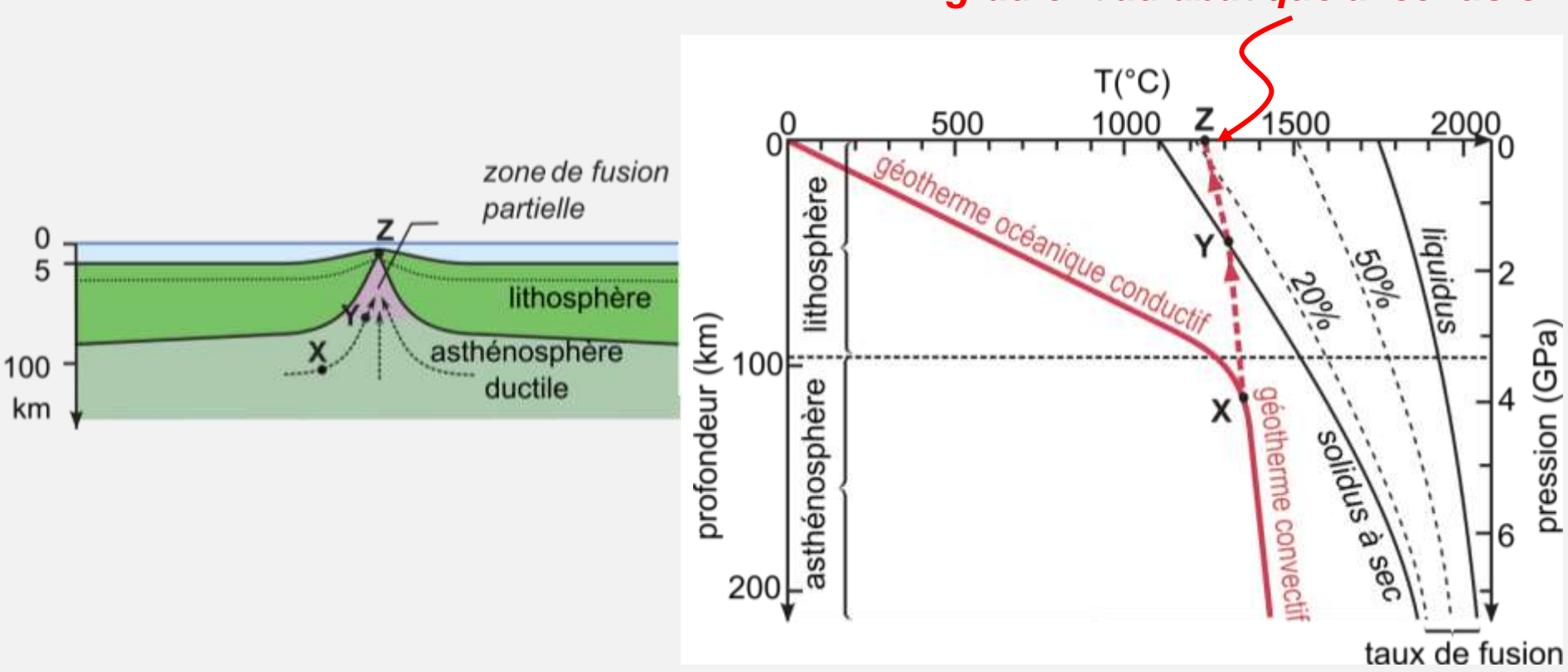
<u>Document 6</u>. Les conditions de la fusion mantellique en contexte de dorsale.



taux de fusion

<u>Document 6</u>. Les conditions de la fusion mantellique en contexte de dorsale.





Topographie des fonds océaniques

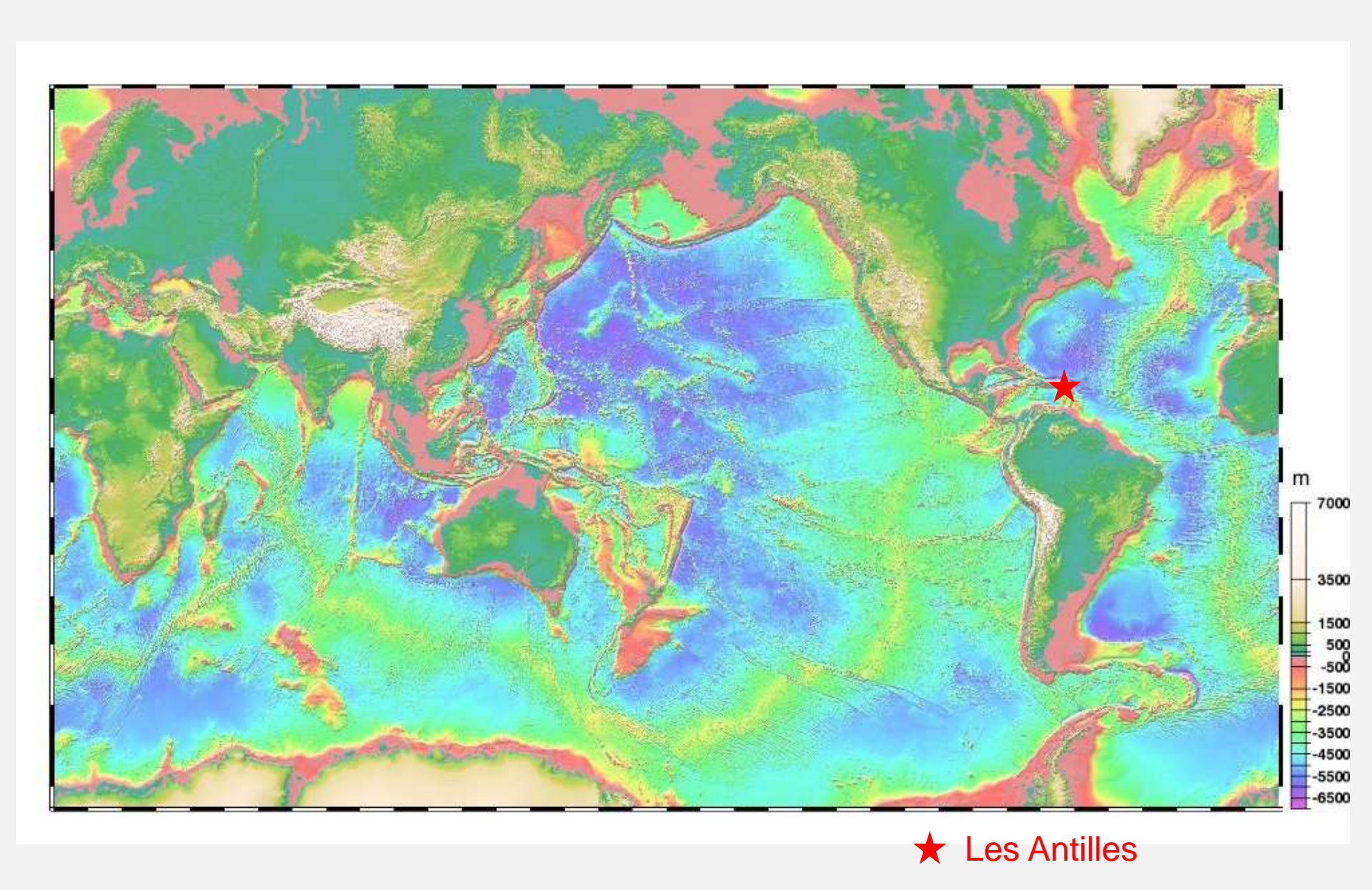


Image Google Earth de la région des Antilles

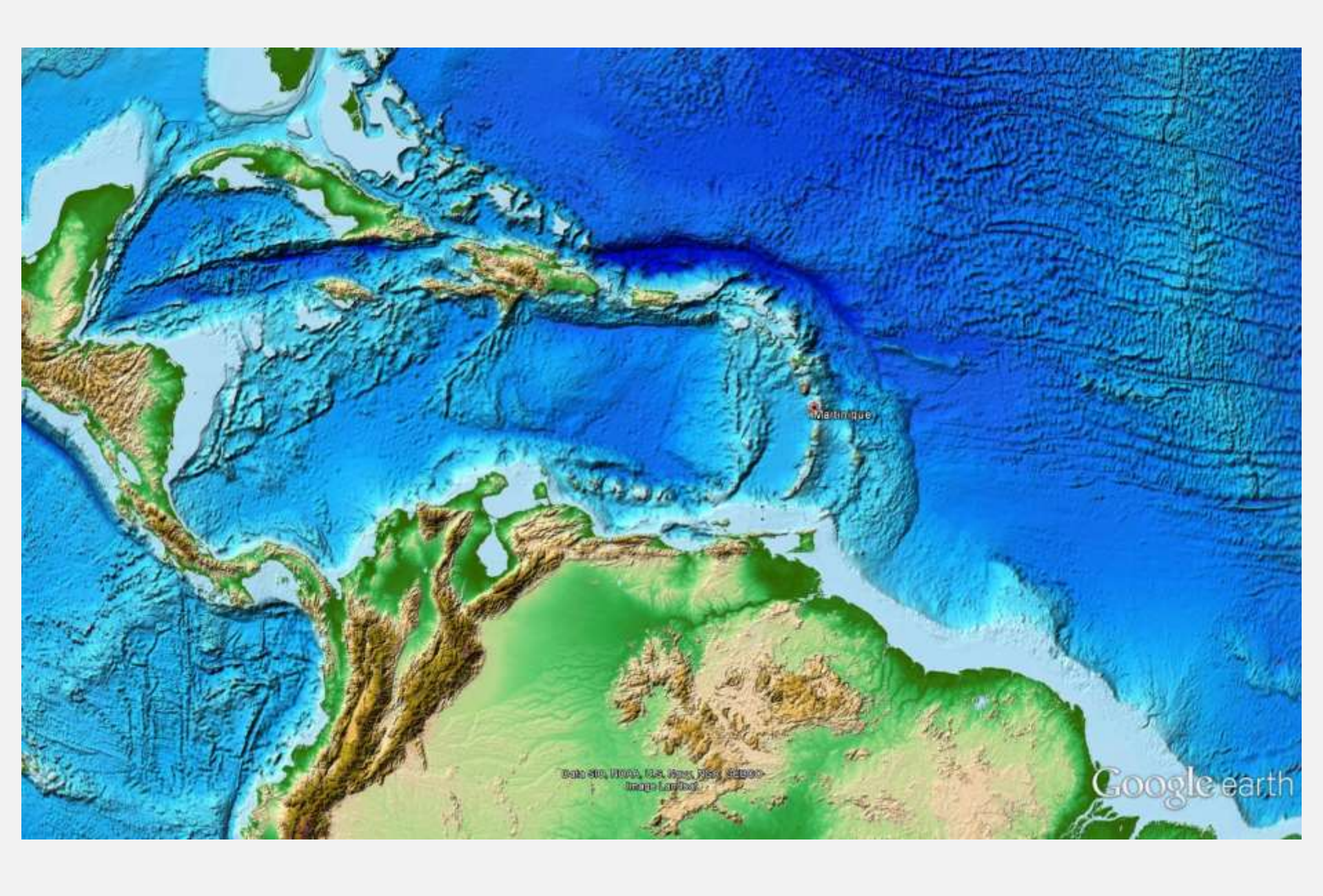
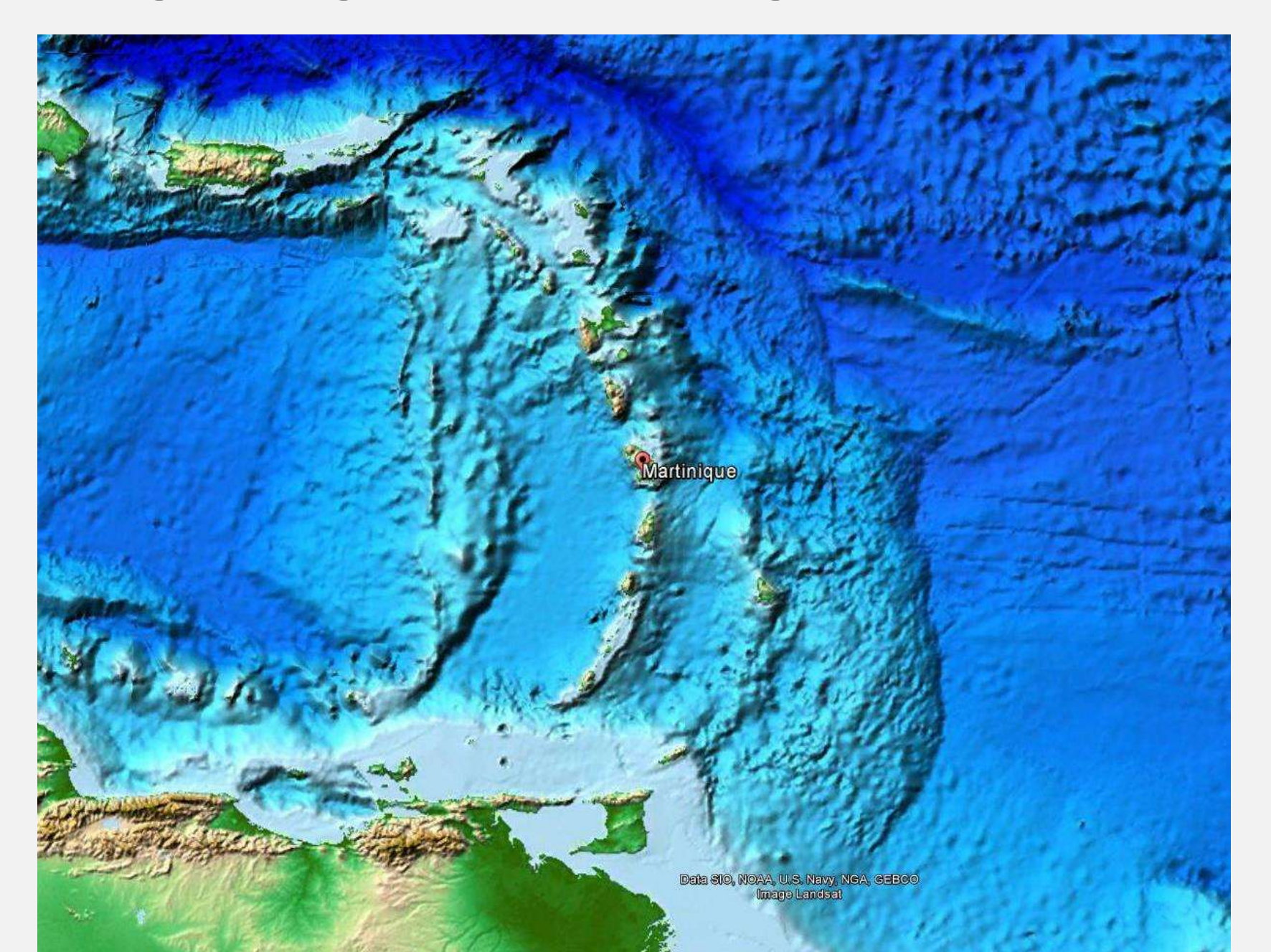


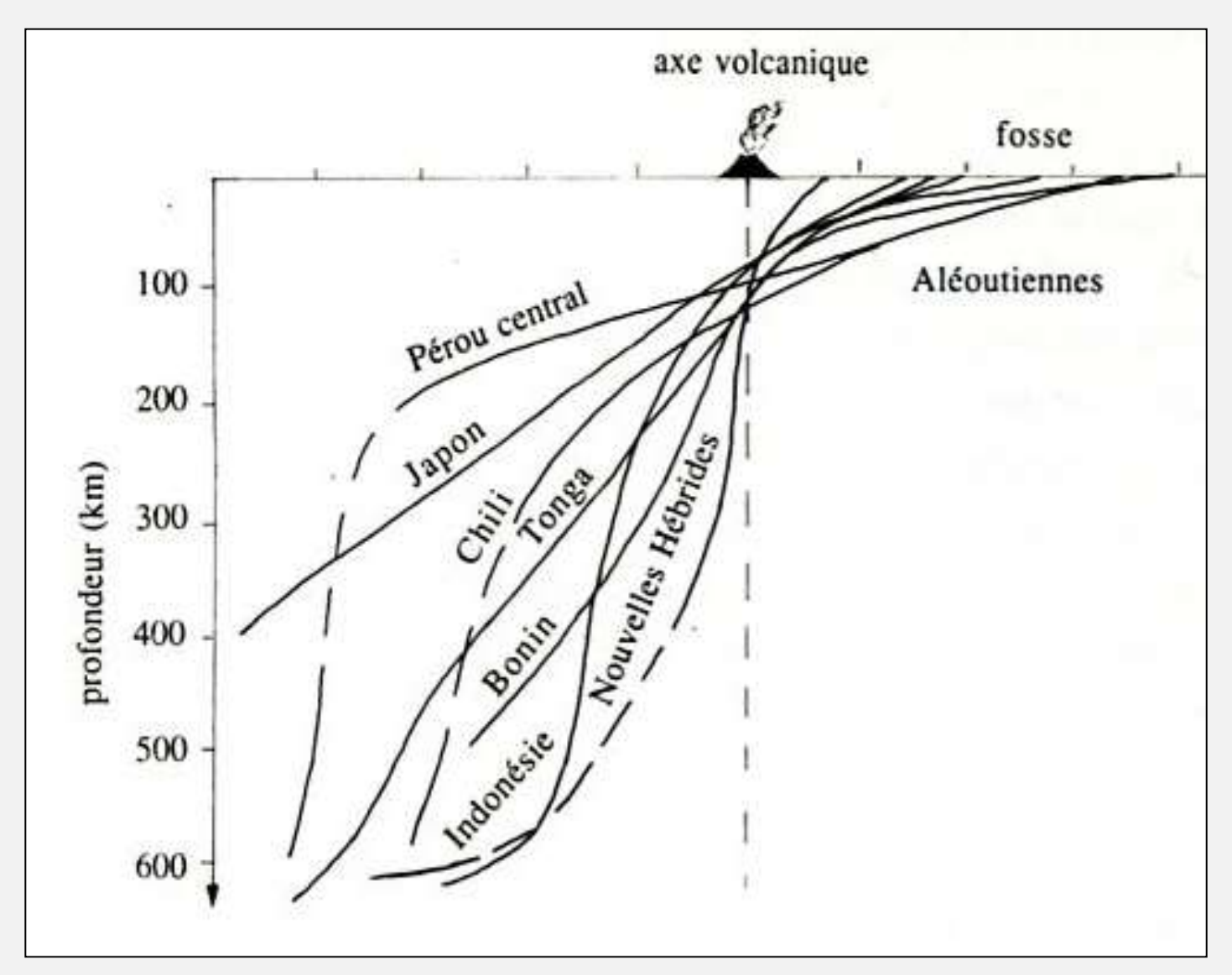
Image Google Earth de la région des Antilles



Carte de répartition des séismes enregistrés de 1964 à 1994

(Engdahi & al., 1998)

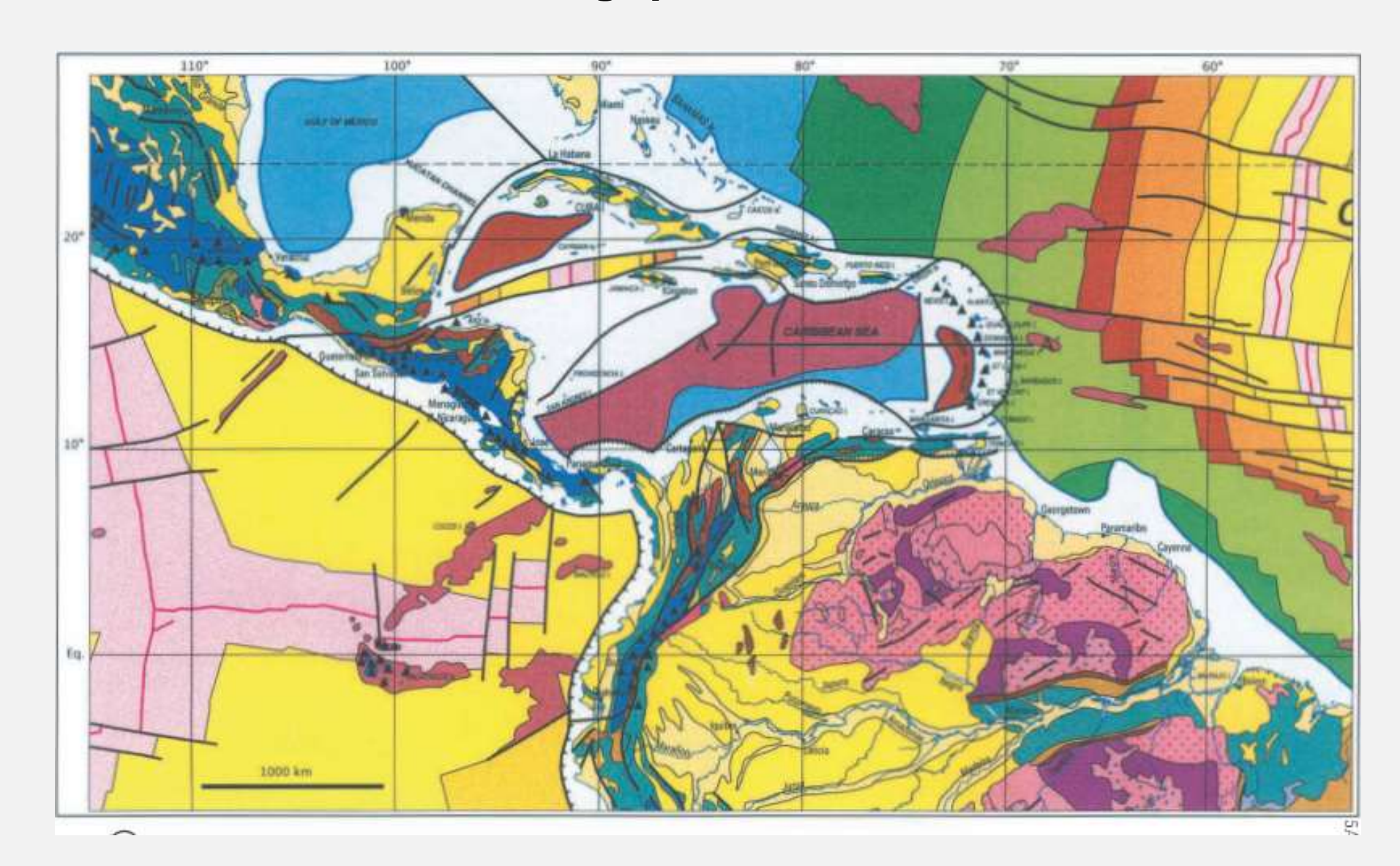


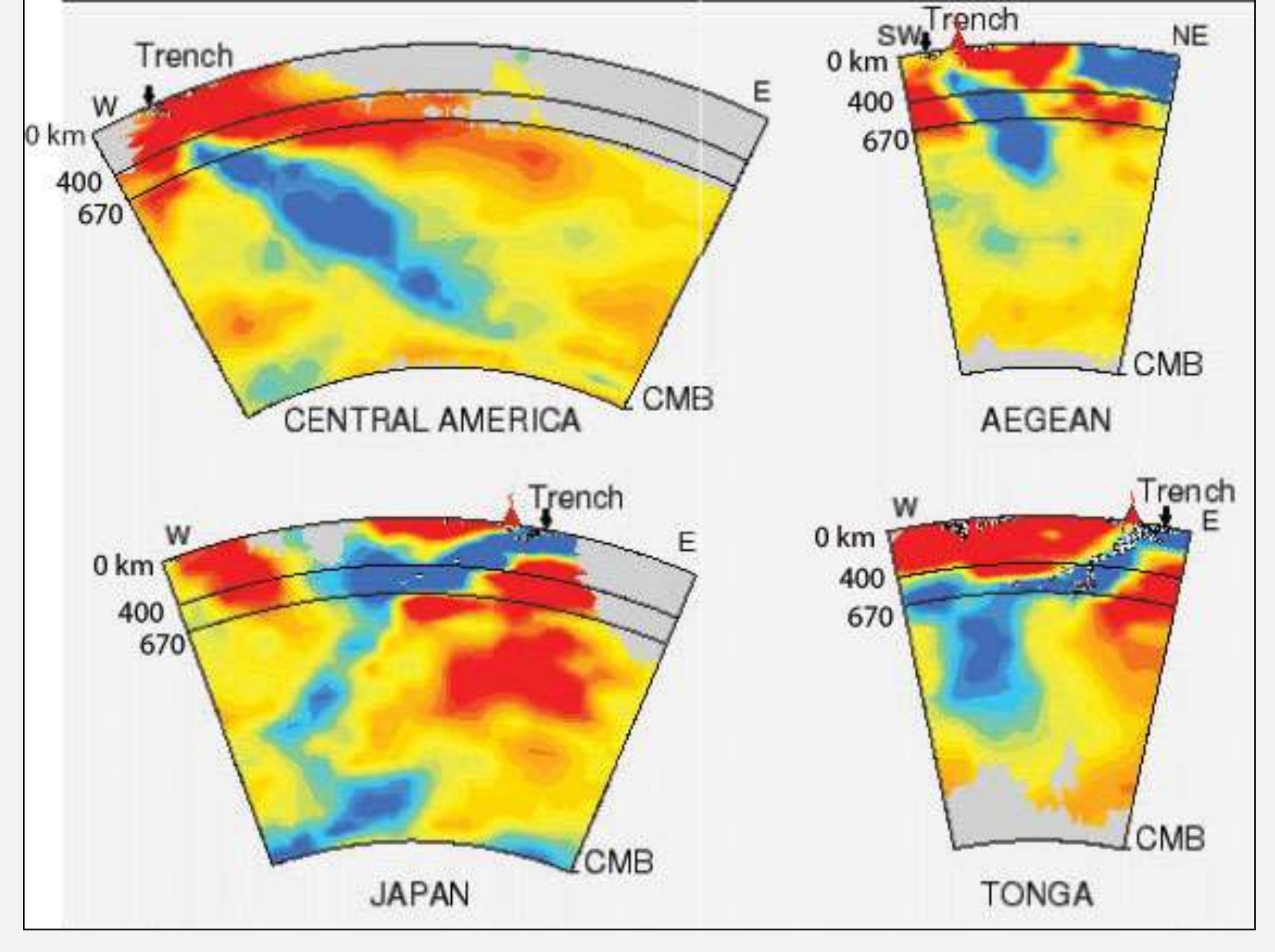


Répartition des foyers de séismes et localisation du volcanisme dans différentes zones de subduction.

(Caron J.M. et coll., « Comprendre et enseigner la Planète Terre », Ophrys Ed.)

Extrait de la Carte Géologique du Monde (CCGM UNESCO, 2002)



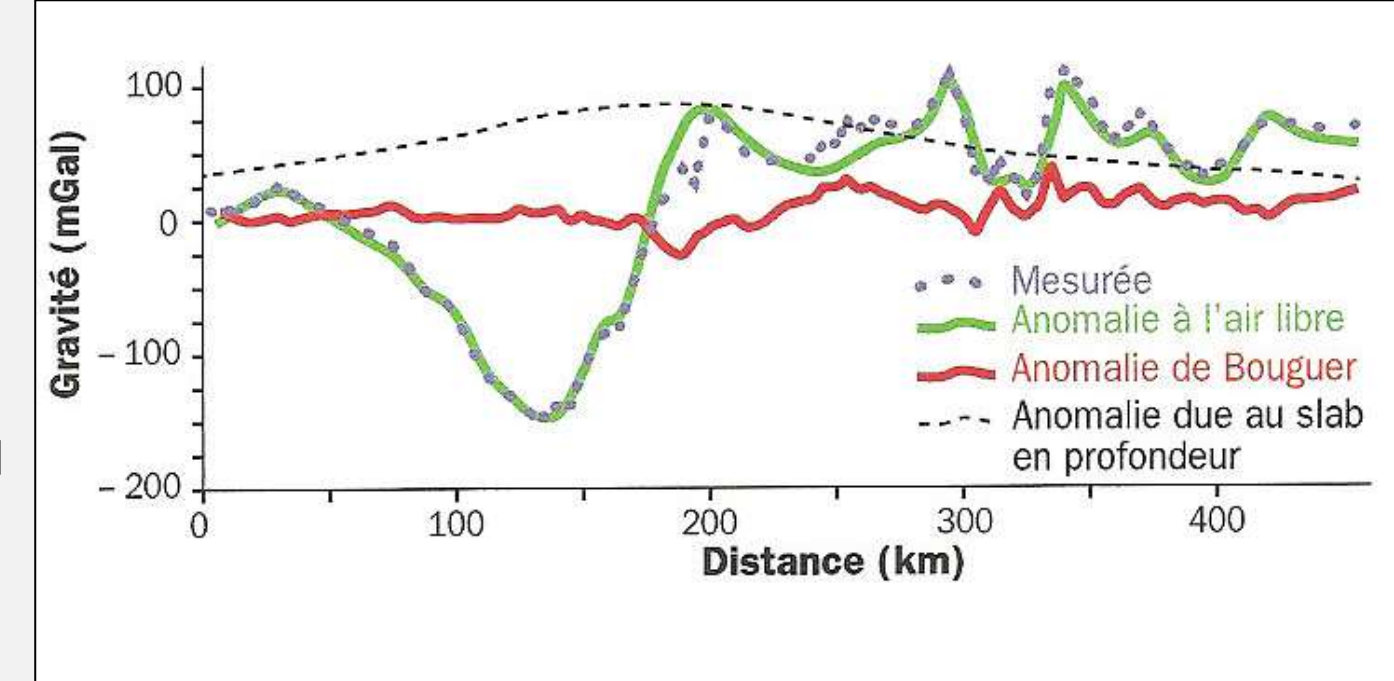


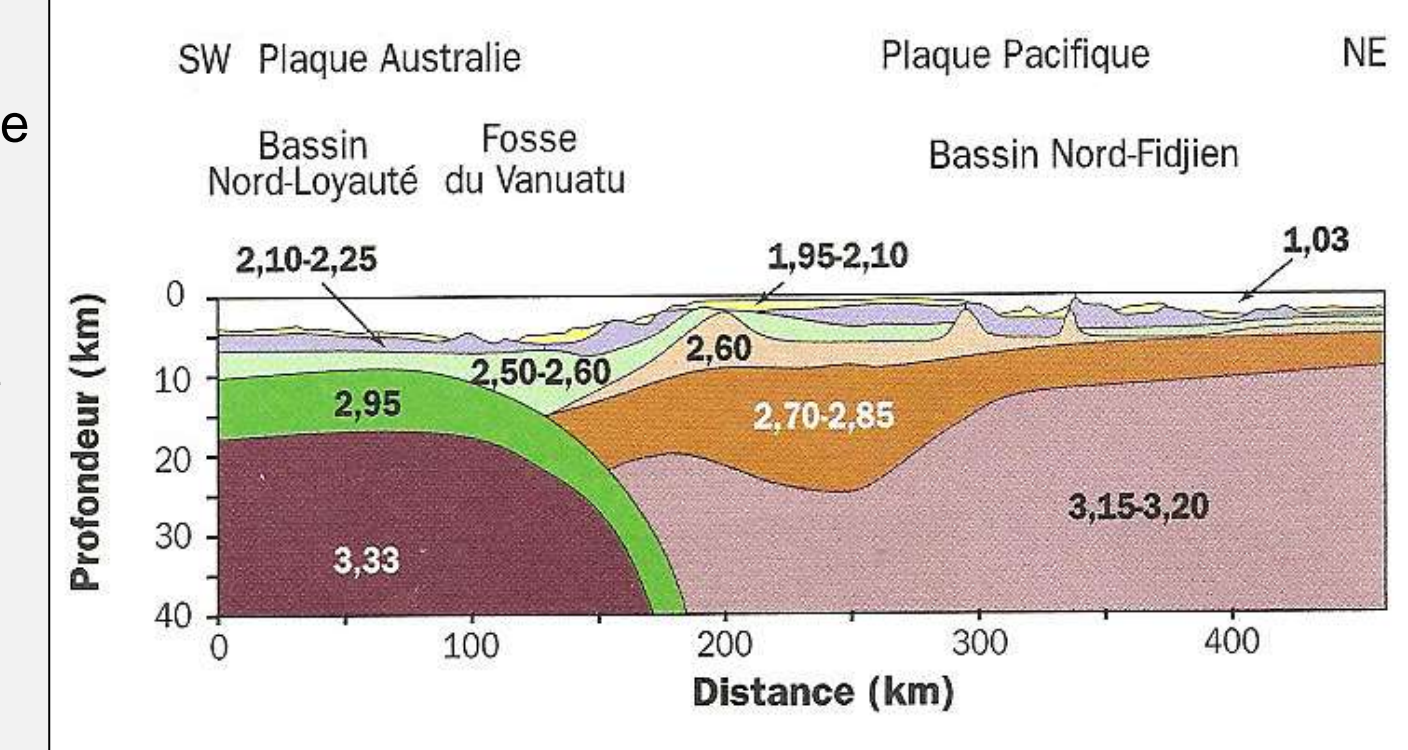
Images tomographiques au niveau de l'Amérique centrale (Central America), Japon (Japan), Égée (Agean) et Tonga.

Anomalies gravimétriques et structure de la lithosphère au-dessus de l'arc du Vanuatu (Nouvelles-Hébrides).

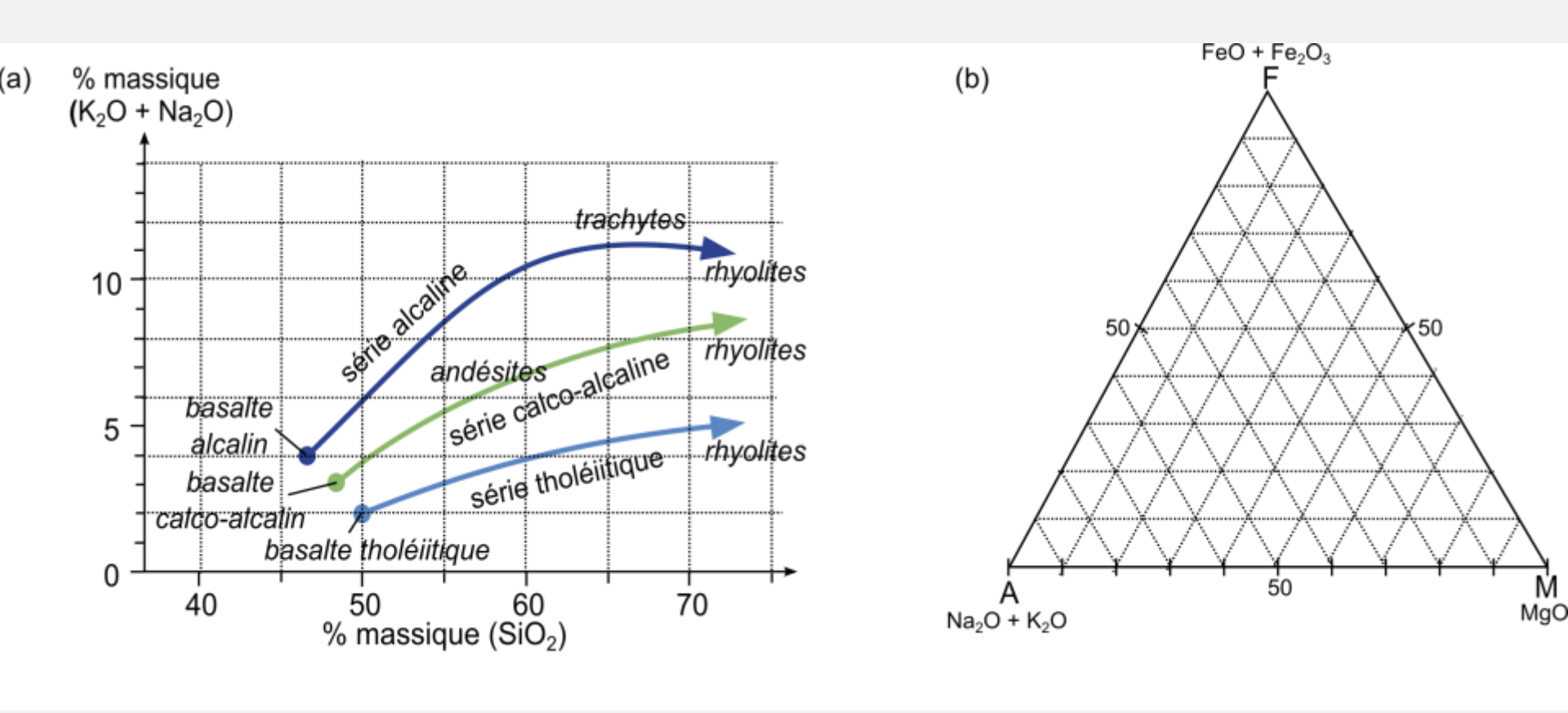
Cette région
correspond à la
subduction Papouasie
– Nouvelle Guinée –
Salomon – Vanuatu
entre la plaque
Australie et la plaque
Pacifique.

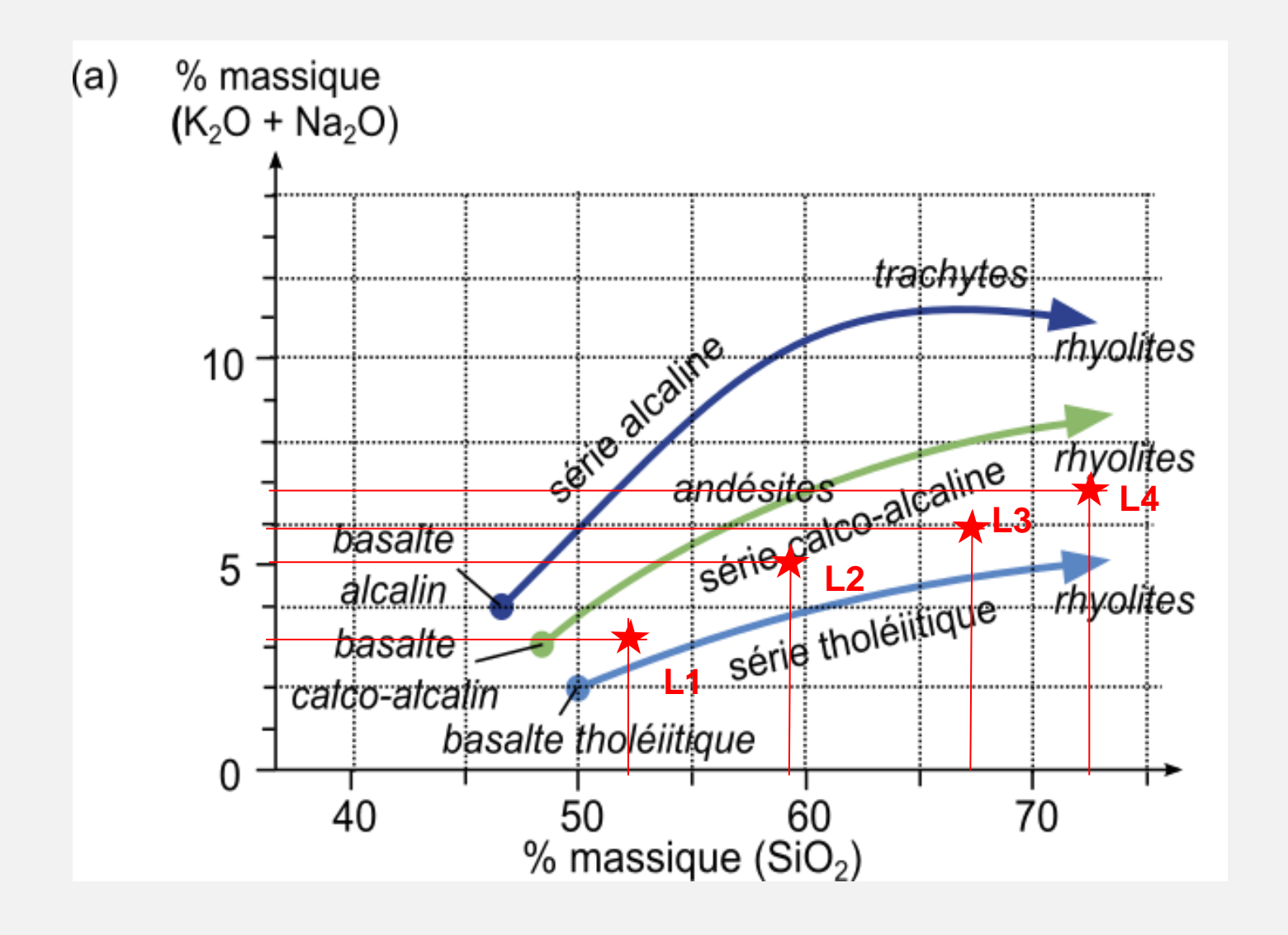
(C. Robert et R. Bousquet « Géociences : la dynamique du système Terre »





<u>Document 3</u>. Les différentes séries magmatiques dans les diagrammes TAS et AFM.





<u>Document 3</u>. Les différentes séries magmatiques dans les diagrammes TAS et AFM.

Calculs pour le diagramme AFM

	L1	L2	L3	L4
SiO ₂	52,11	59,25	67,05	72,62
TiO ₂	0,85	0,92	0,63	0,39
Al_2O_3	19,13	16,83	14,93	14,63
FeO	8,35	7,74	5,79	2,27
MnO	0,19	0,20	0,13	0,05
MgO	4,98	2,66	1,11	0,35
CaO	10,59	6,38	3,49	2,65
<mark>Na₂O</mark>	2,68	4,23	4,99	5,37
K ₂ O	0,49	0,75	1,05	1,33
P_2O_5	0,12	0,18	0,18	0,09
Total	99,49	99,14	99,35	99,75

% dans la roche totale

	L1	L2	L3	L4
A	3,2	5,0	6,0	6,7
F	8,4	7,7	5,8	2,3
M	5,0	2,7	1,1	0,4
total	16,5	15,4	12,9	9,3

% A+F+M

	L1	L2	L3	L4
Α	19	32	47	72
F	51	50	45	24
М	30	17	9	4
total	100	100	100	100

Document 3. Les différentes séries magmatiques dans le diagramme AFM.

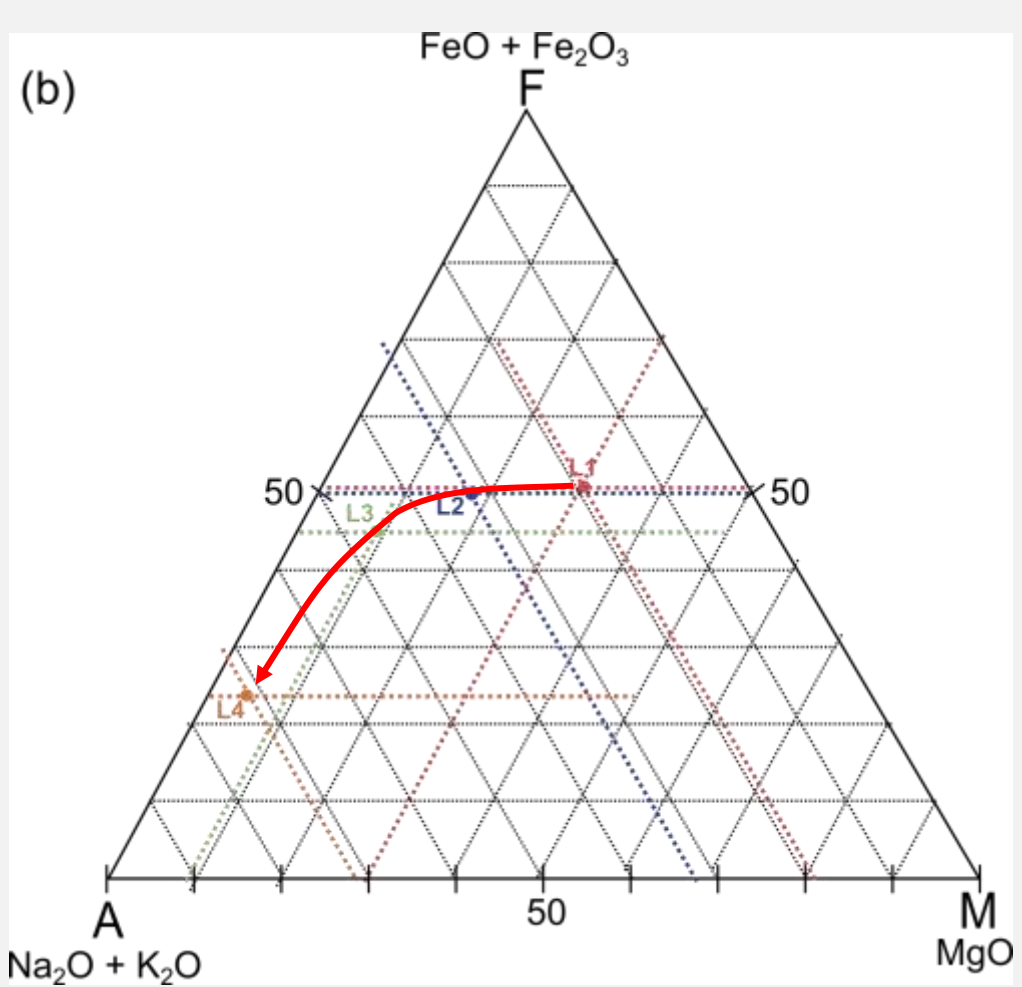
	L1	L2	L3	L4
Α	19	32	47	72
F	51	50	45	24
М	30	17	9	4
total	100	100	100	100

série tholéiitique

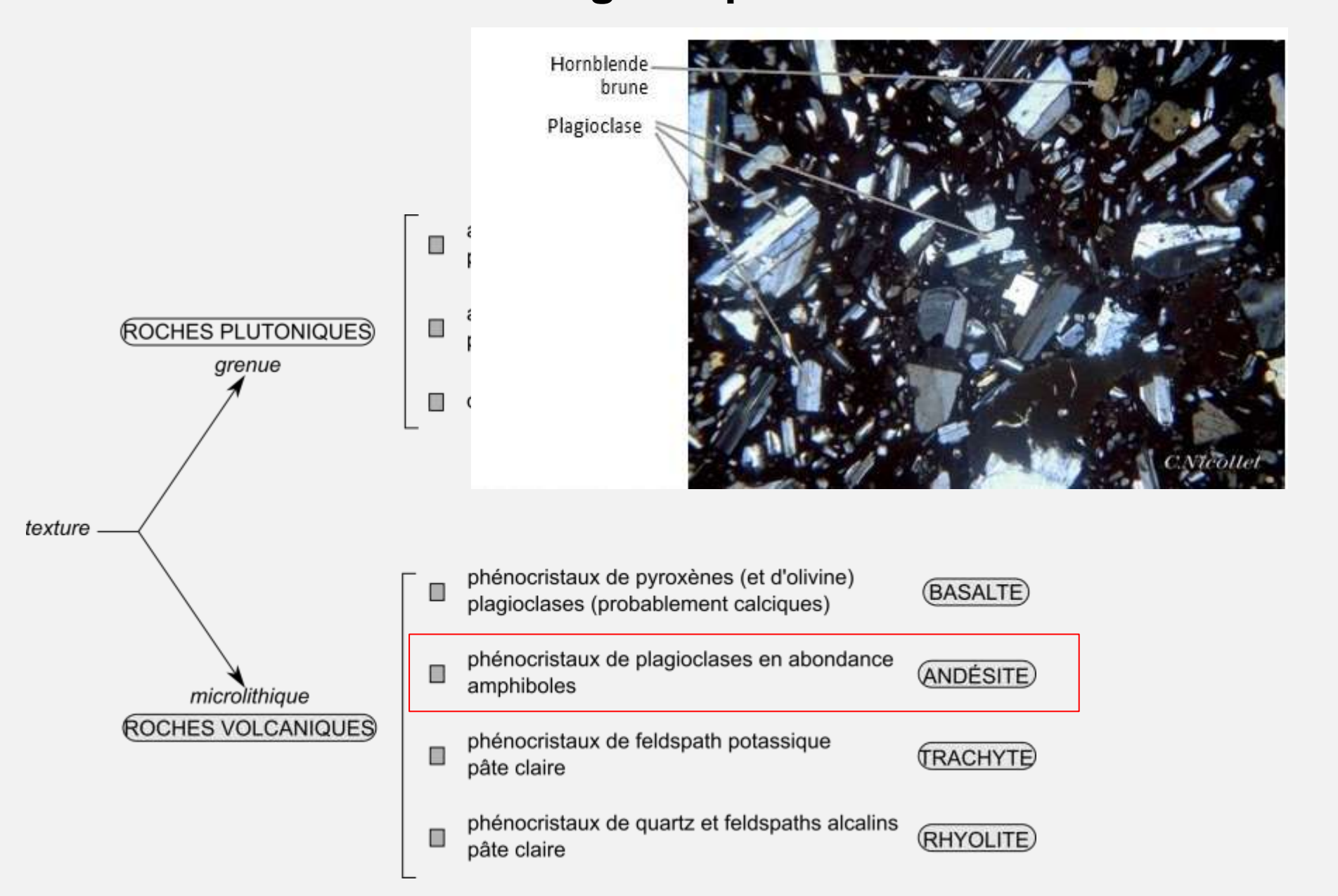
série calco-alcaline

(b)





Document 1. Clé de détermination simplifiée des roches magmatiques.



Les roches magmatiques dans un contexte de convergence



Rhyolite



Granite

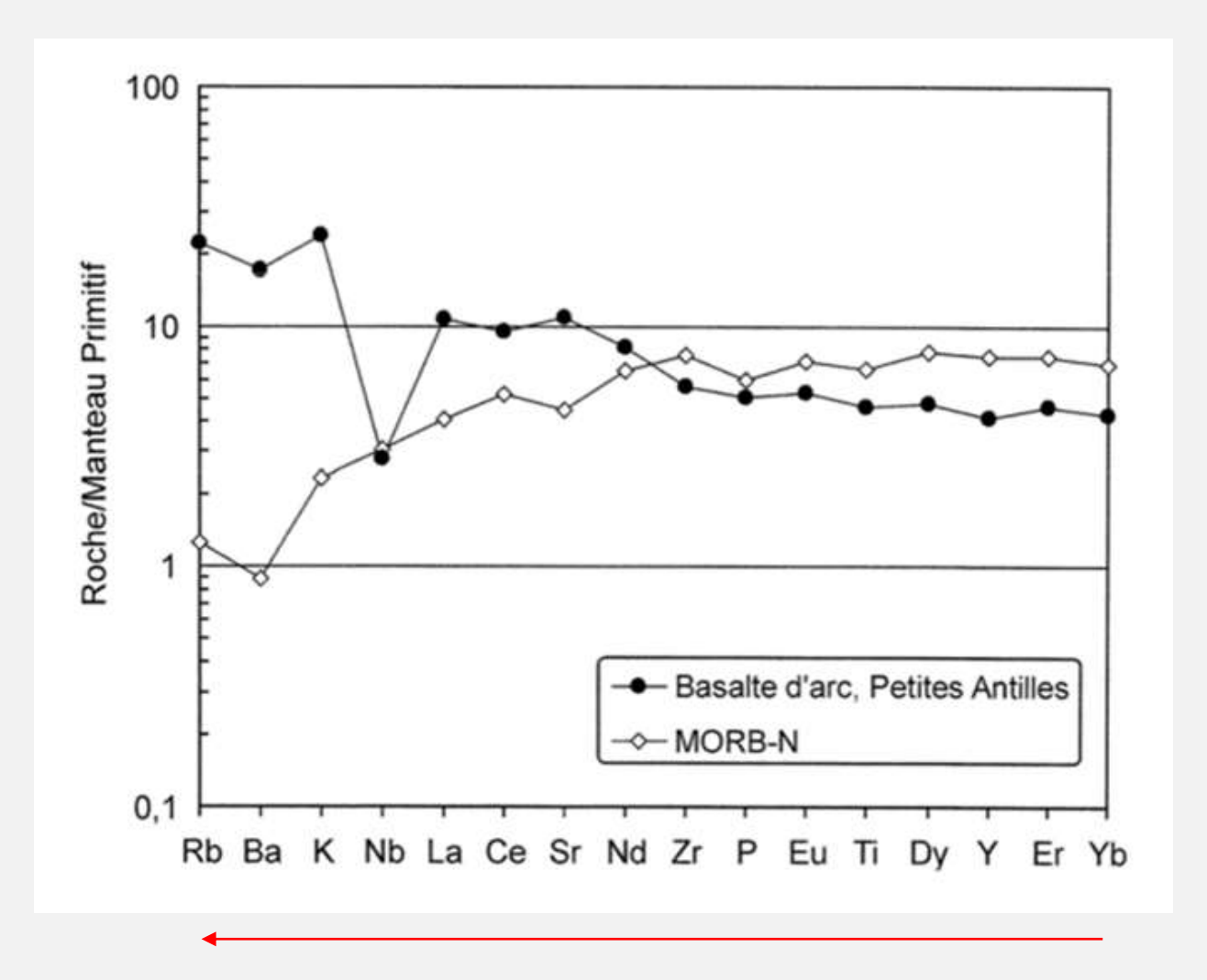


Andésite



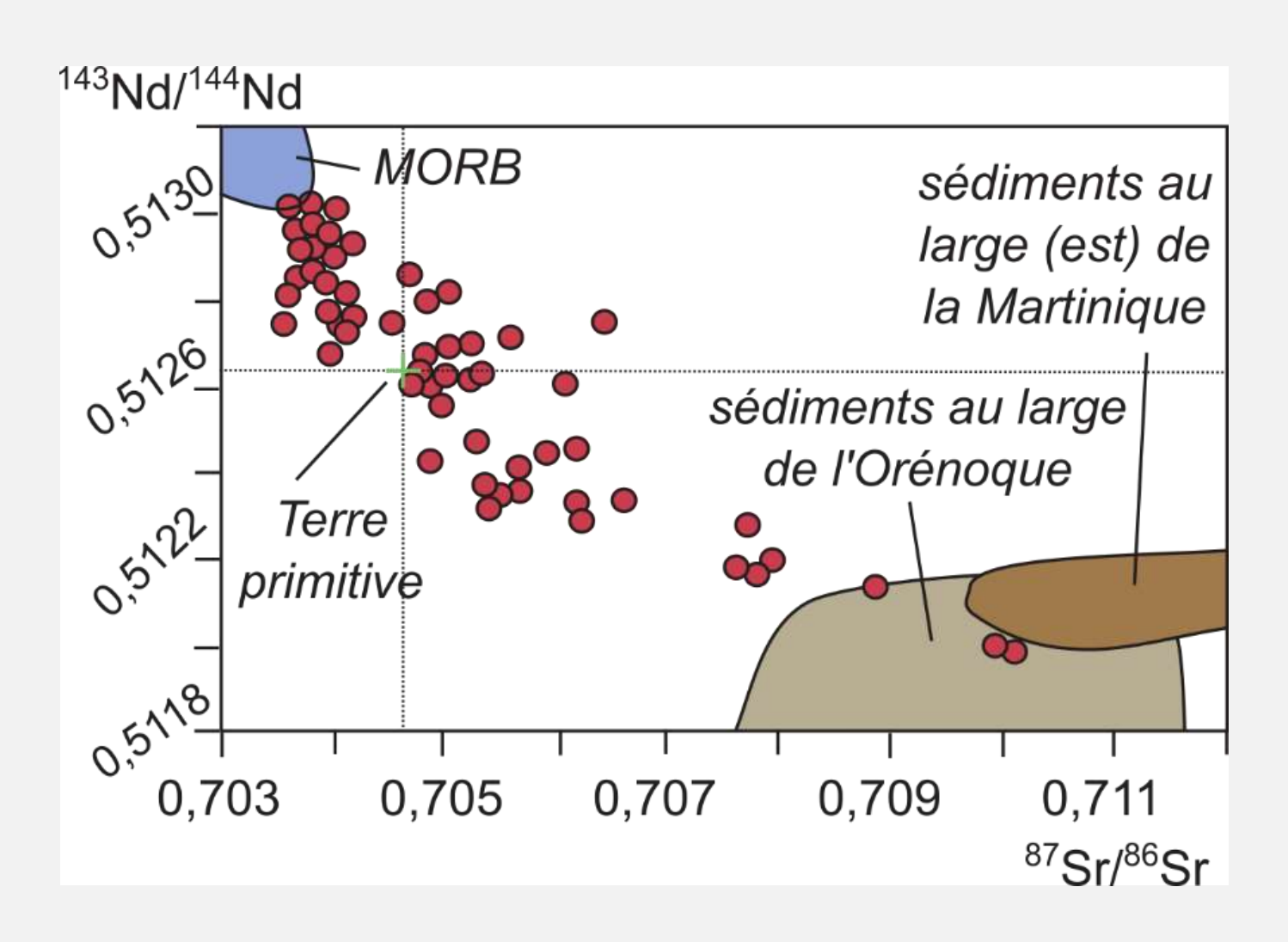
Granodiorite

<u>Document 9.</u> Composition normalisée (c'est-à-dire rapportée à la composition du manteau primitif) d'un basalte « moyen » de dorsale (MORB-N) et d'un basalte échantillonné dans les Antilles.



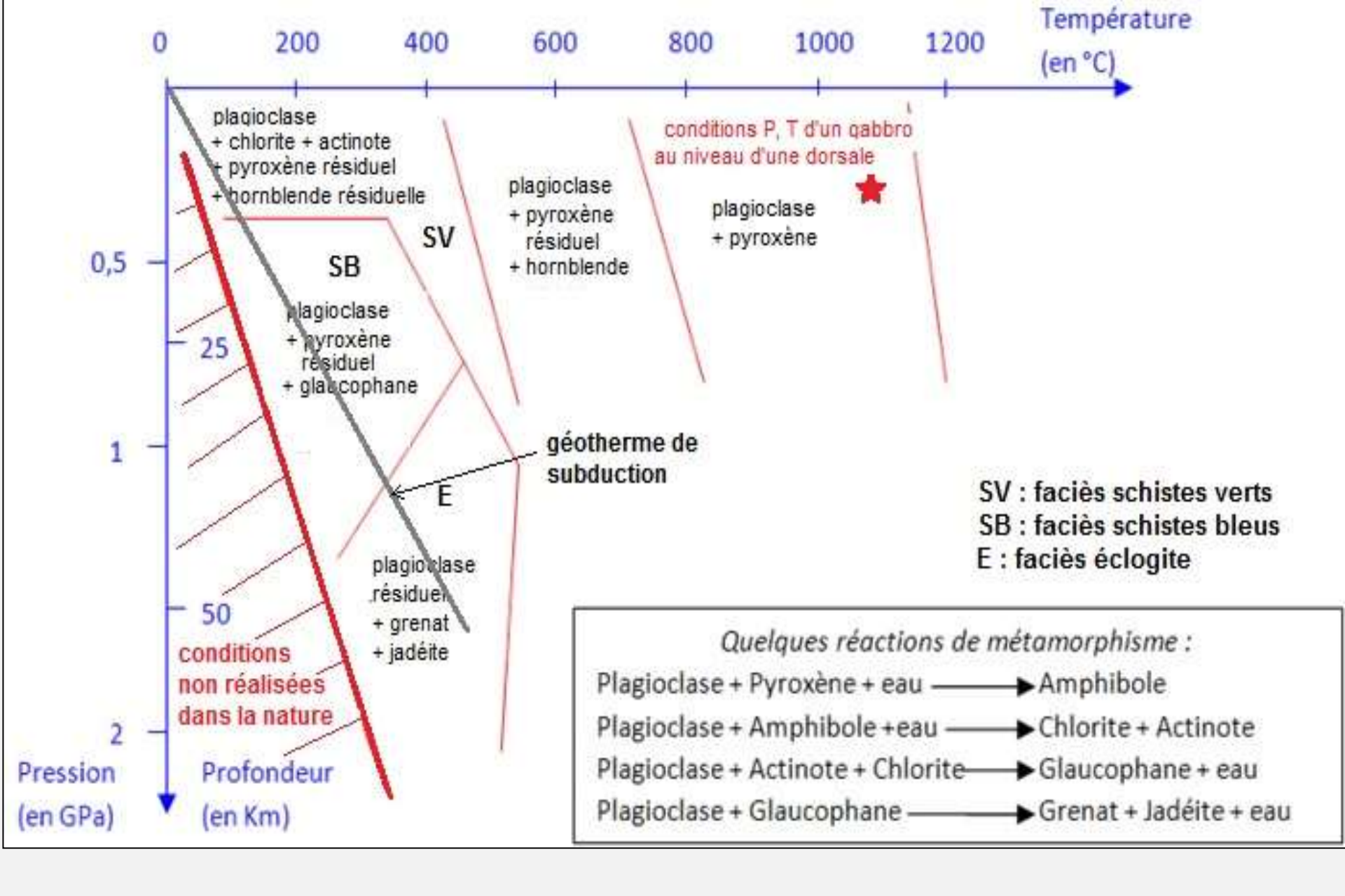
Incompatibilité croissante

Document 10. Compositions isotopiques des laves des Antilles.



	Croûte : basalte et gabbro	péridotite
Lithosphère océanique venant de se mettre en place	 Feldspaths calcosodiques = plagioclases : (Ca, Na) Al_(1, 2) Si_(2, 3)O₈ Pyroxènes Ca (Fe, Mg)₂ Si₂O₆ 	 Olivines (Fe, Mg)₂ SiO₄ Pyroxènes Ca (Fe, Mg)₂ Si₂O₆
Lithosphère océanique froide	 Apparition de nouveaux minéraux : Amphibole (hornblende) Na Ca₂ (Fe²⁺, Mg)₄ (Al, Fe³⁺)₅ Al₂ Si₆O₂₂ (OH)₂ Chlorite (Mg, Fe, Al)₃ Mg₃ [(Si, Al)₄O₁₀ (OH)₂] (OH)₆ Actinote Ca₂ (Mg, Fe)₅ [Si₈O₂₂] (OH, F)₂ 	Idem + Serpentine : $Mg_6 [Si_4O_{10} (OH)_2] (OH)_6$
Lithosphère océanique subduite	Apparition de nouveaux minéraux : Faciès amphibolite : Glaucophane Na ₂ Mg ₃ Al ₂ [Si ₈ O ₂₂] (OH) ₂ Faciès éclogite : Jadéite Na (Al, Fe) [Si ₂ O ₆] Grenat (Mg,Fe ²⁺ , Mn, Ca) ₃ (Al, Fe ³⁺ , Ti, Cr) ₂ (SiO ₄) ₃	Les minéraux de la lithosphère océanique. Les minéraux hydratés sont caractérisés par la présence de groupements hydroxyle OH.

Manteau lithosphérique :



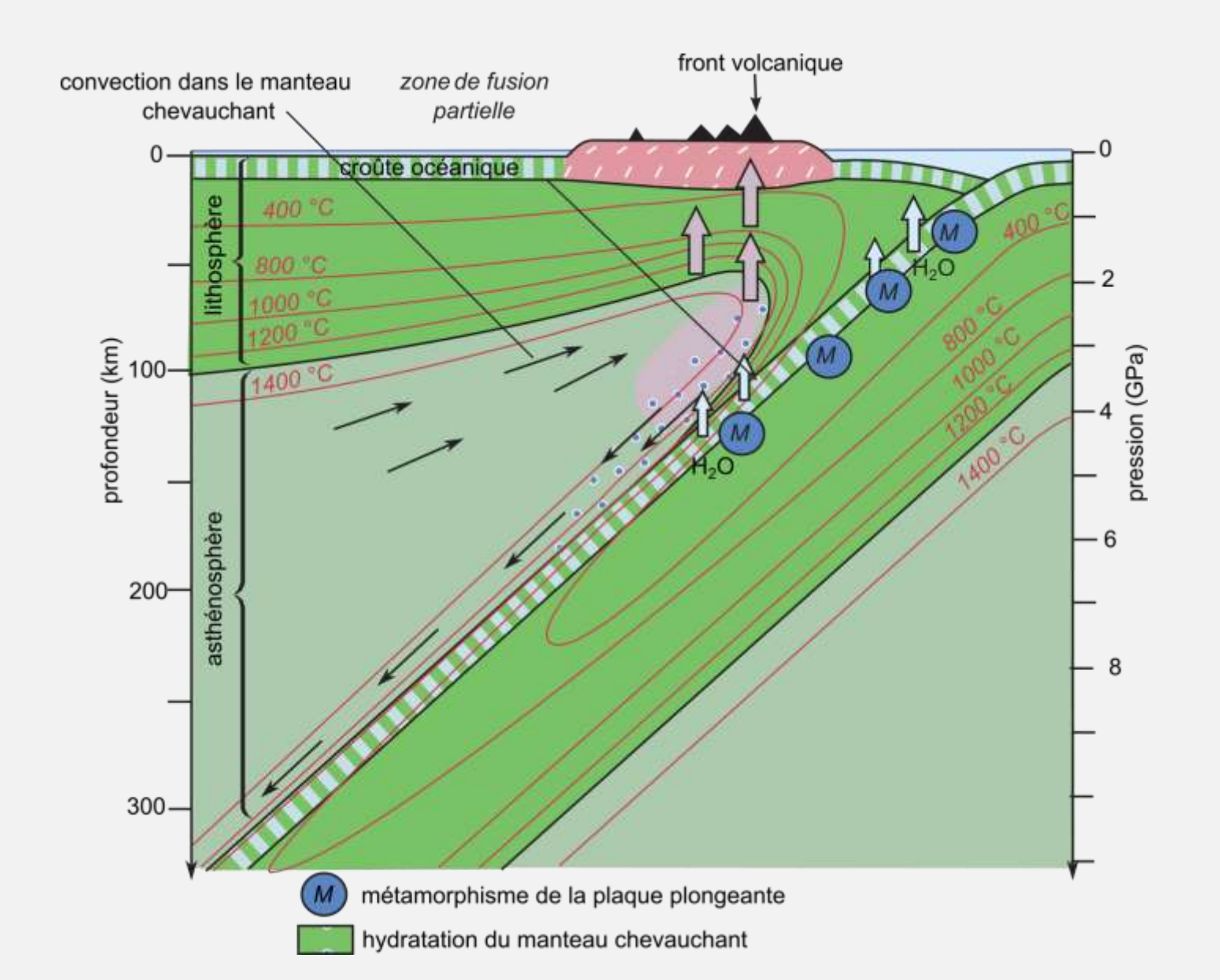
Transformations minéralogiques et domaines de stabilité de quelques minéraux de la croûte océanique.

Des volcans explosifs

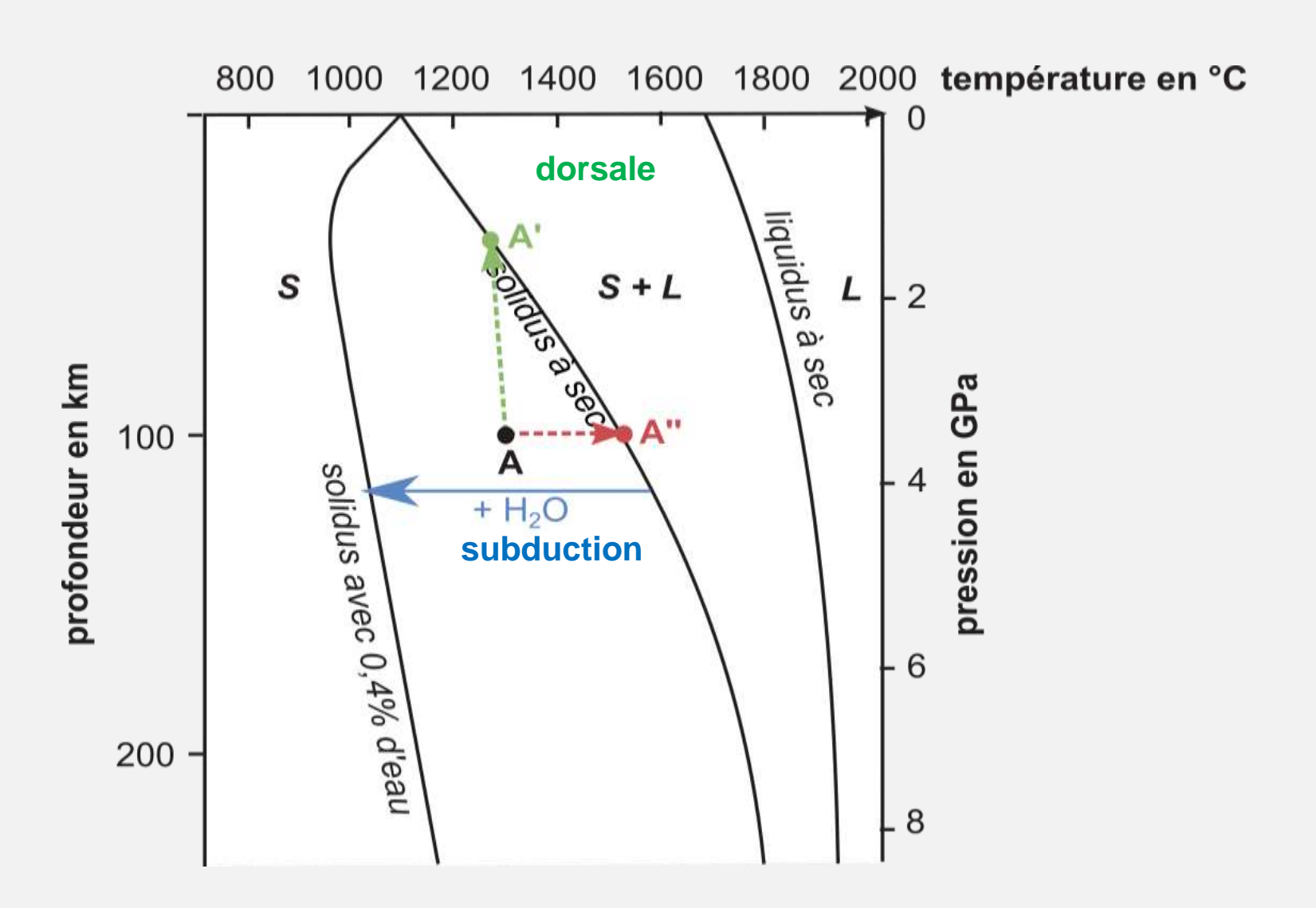


Eruption du Lascar (Chili) 19-20 avril 1993.

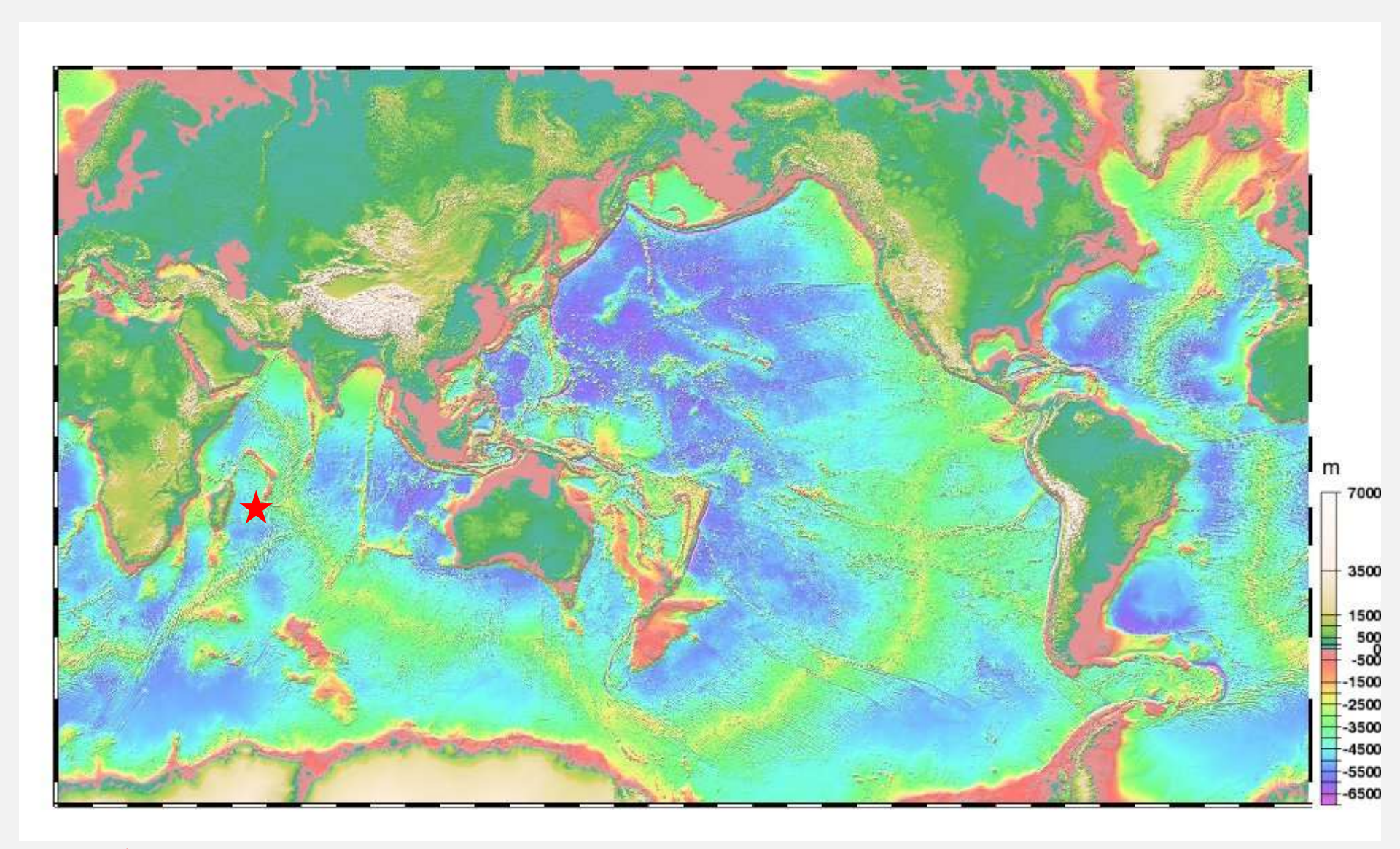
Les conditions de la fusion mantellique en contexte de subduction



Document 2. Solidus et liquidus d'une lherzolite.



Topographie des fonds océaniques





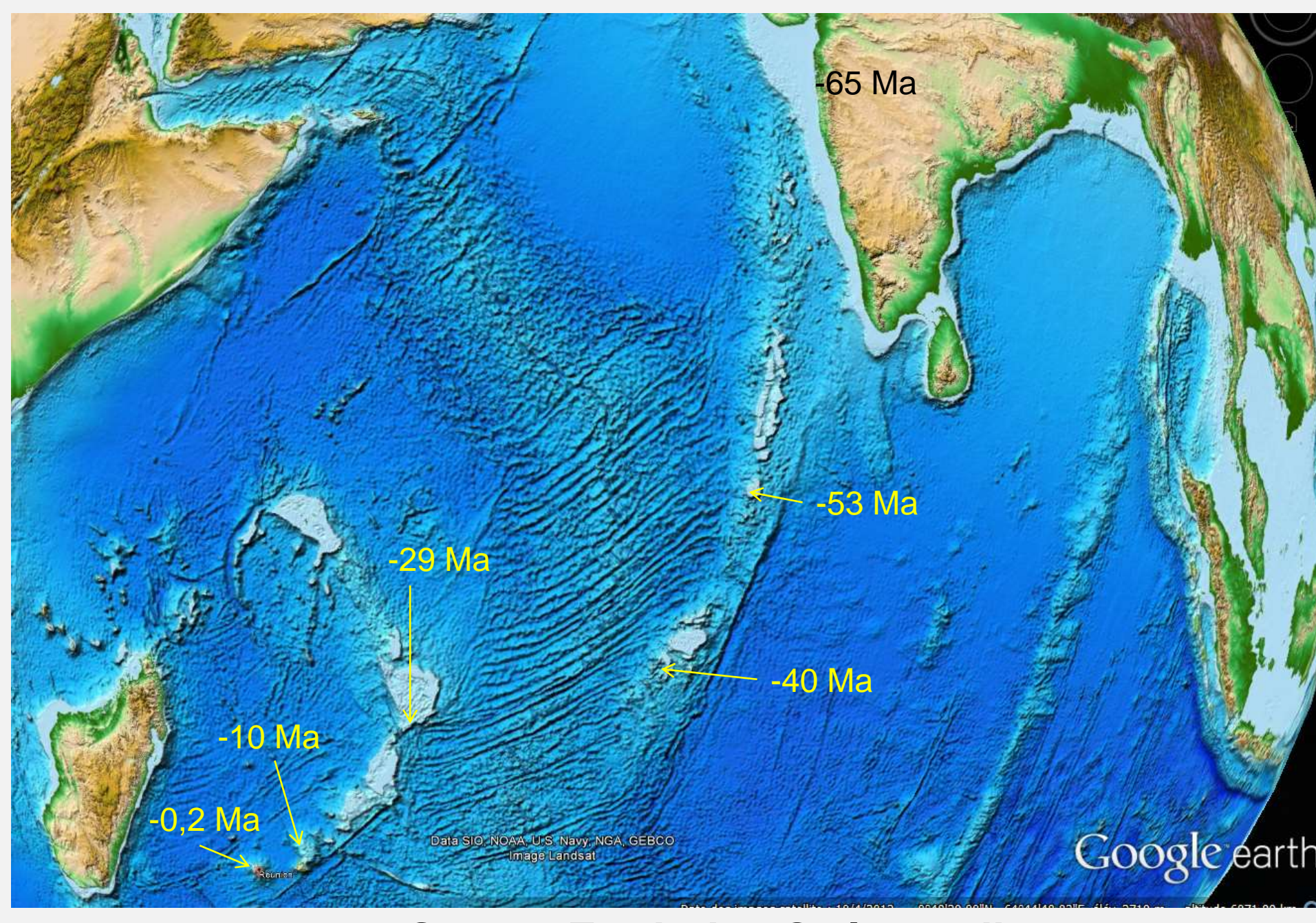
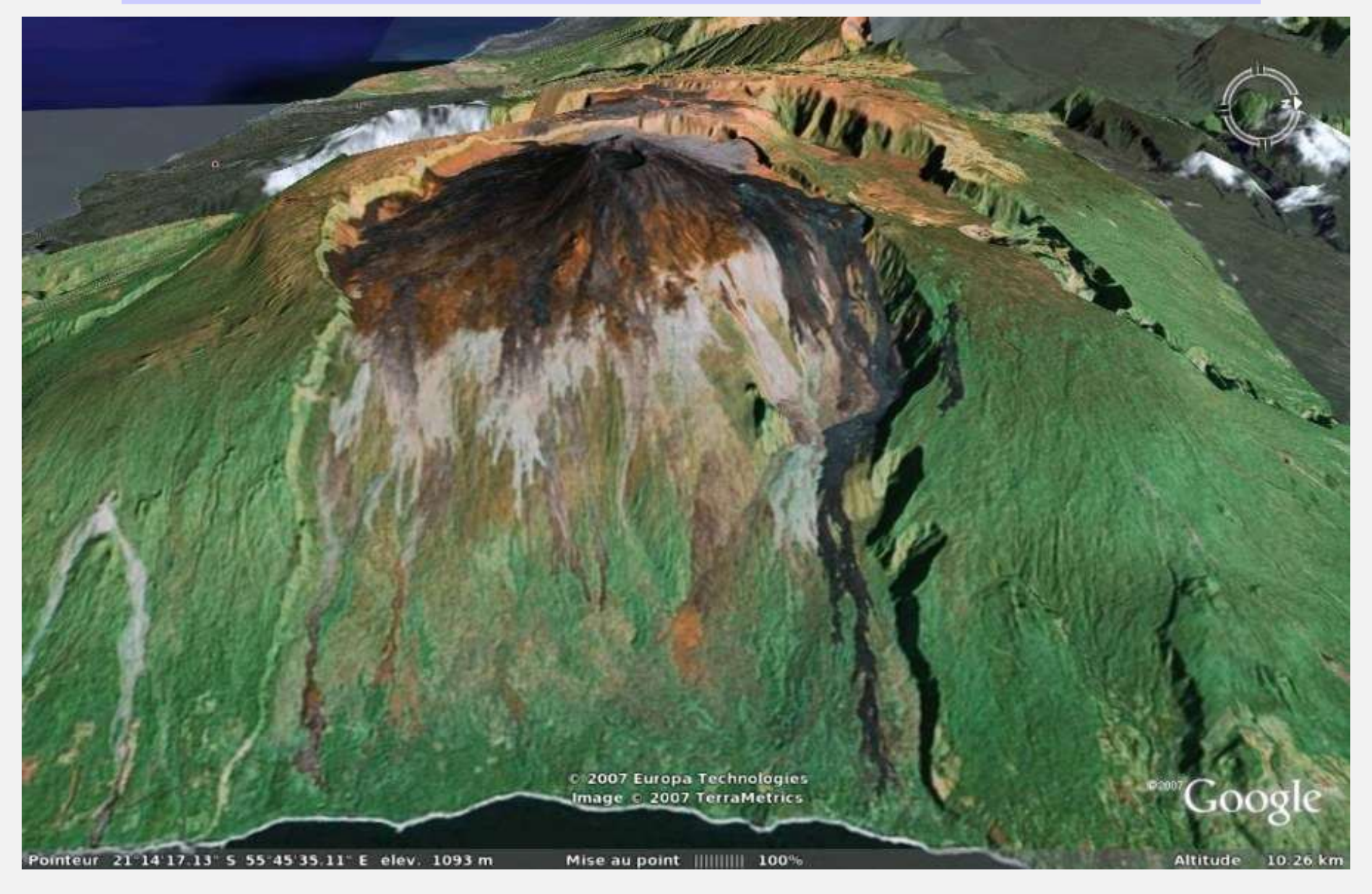


Image Google Earth de l'Océan Indien



Le Piton de la Fournaise (La Réunion) : vue 3D du flan oriental



https://planet-terre.ens-lyon.fr/planetterre/objets/Images/la-reunion-av-2007/eruption-la-reunion-av-2007-02.jpg



Surface scoriacée d'une coulée « visqueuse »

Surface cordée d'une coulée plus fluide



Eruption du piton de la Fournaise à la Réunion (avril 2007)



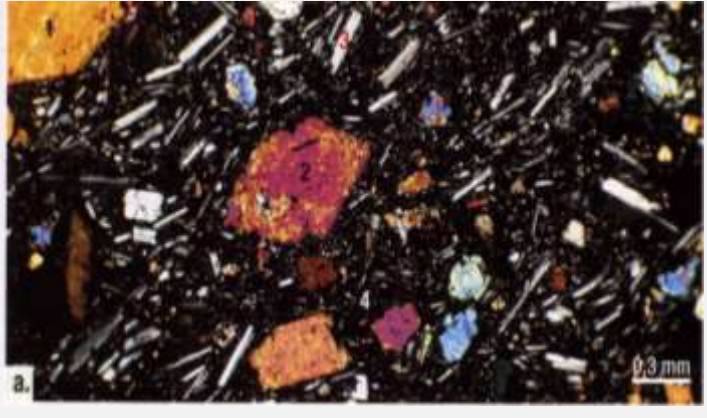
Des volcans - boucliers



Le Kilauea (Hawaï).

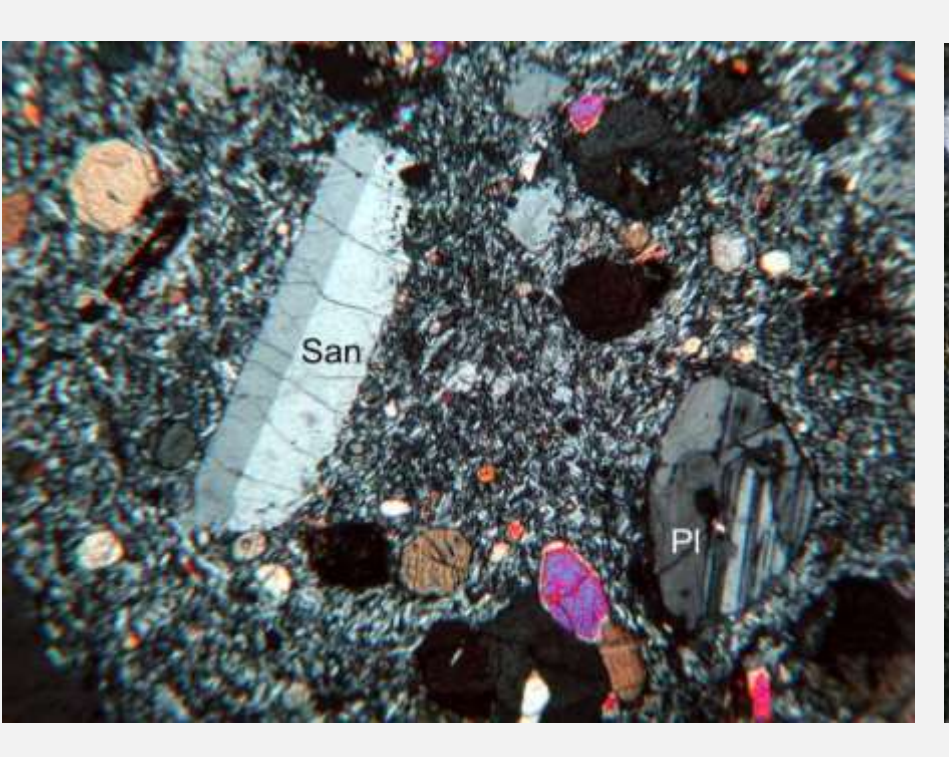
Le Piton de la Fournaise (île de la Réunion).





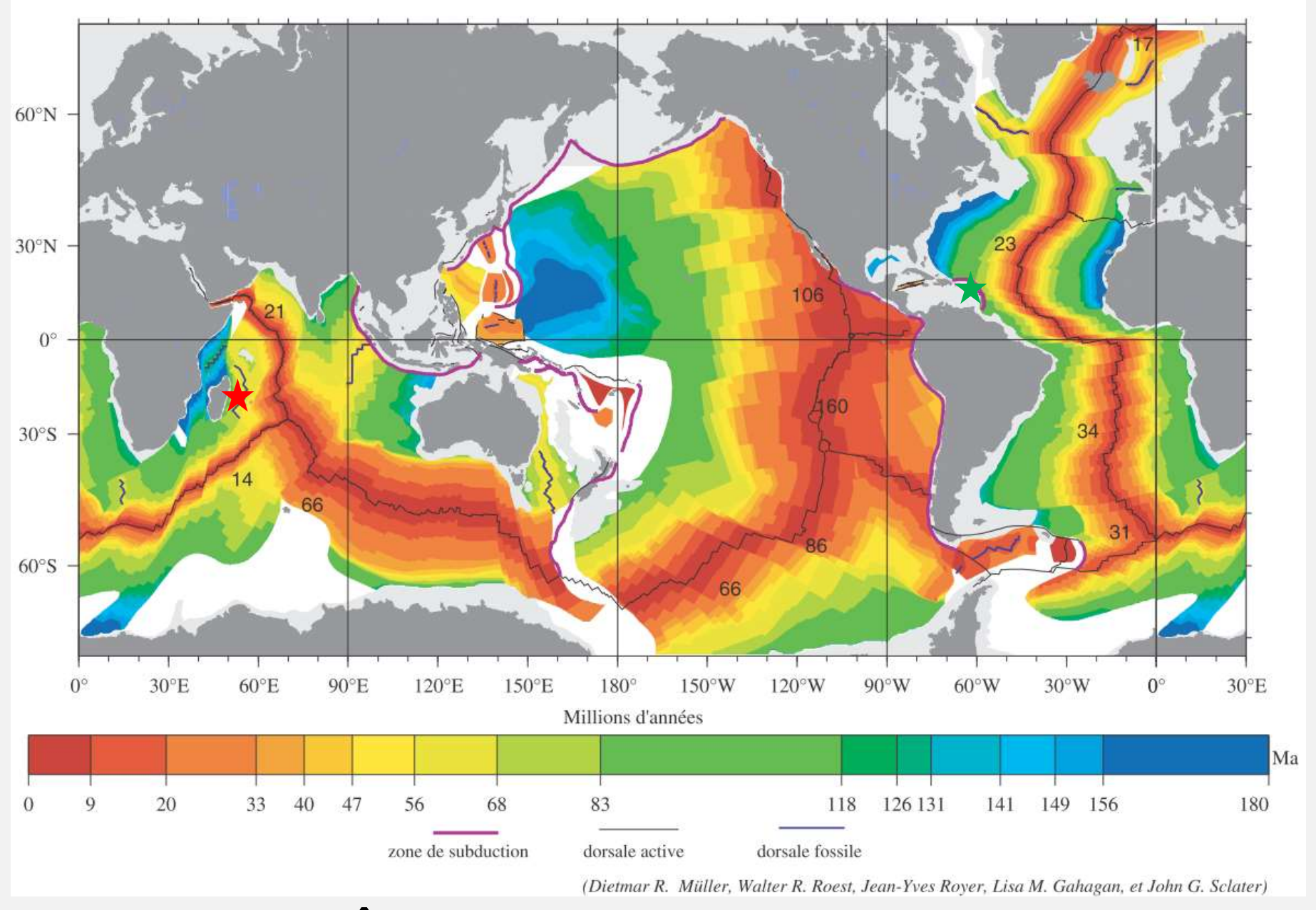
Basalte (alcalin)

Les roches volcaniques de magmatisme intra-plaque



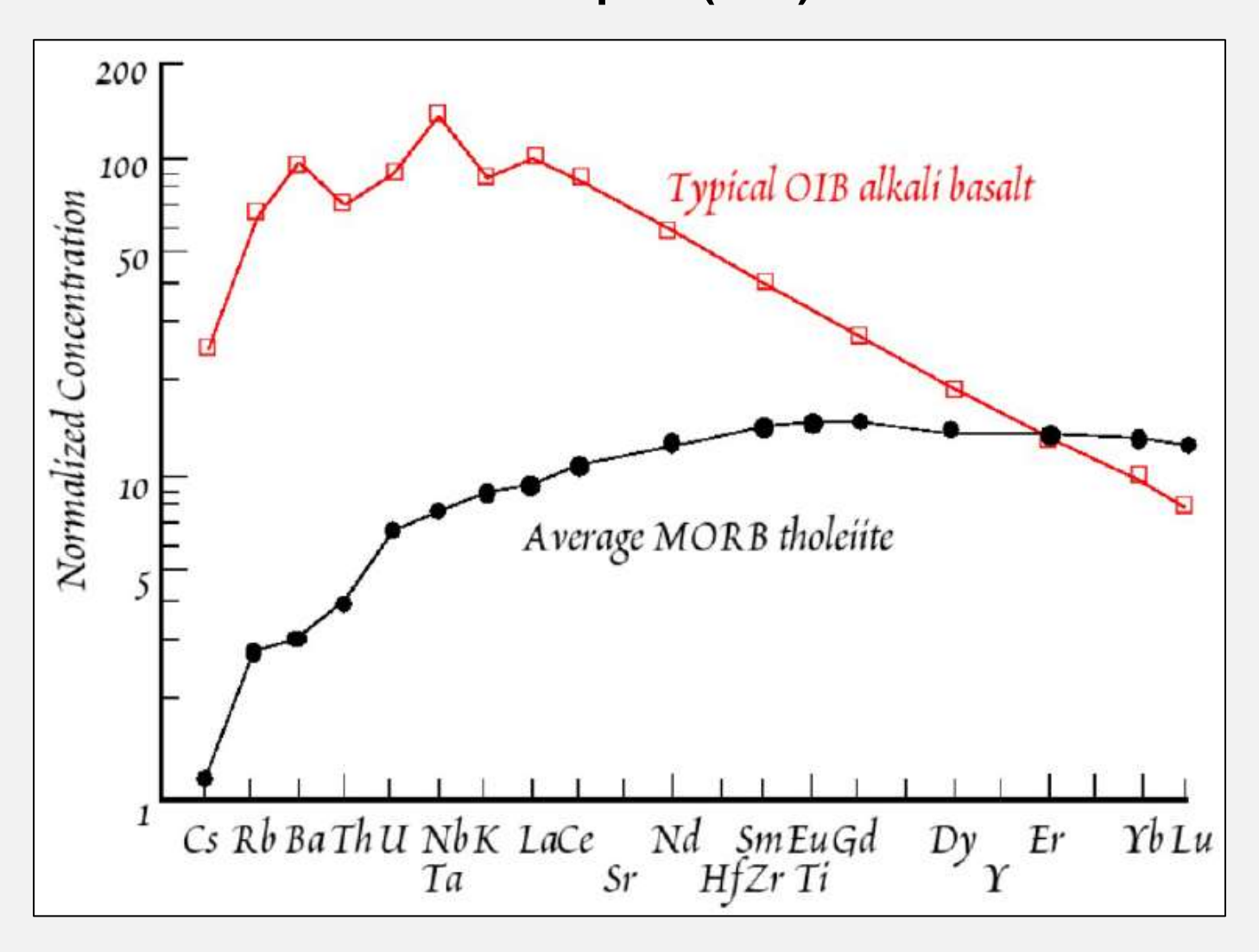


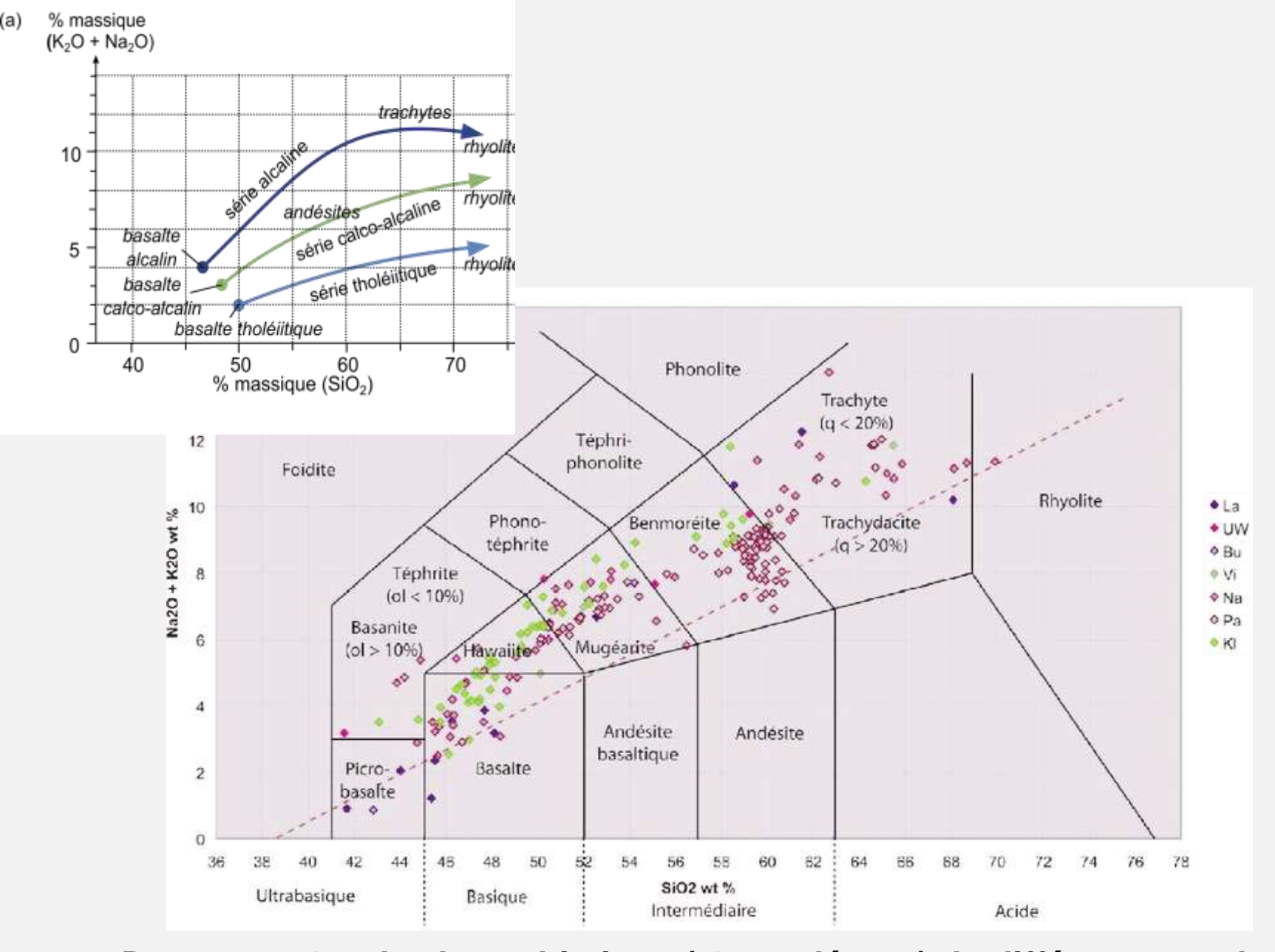
Trachyte Rhyolite



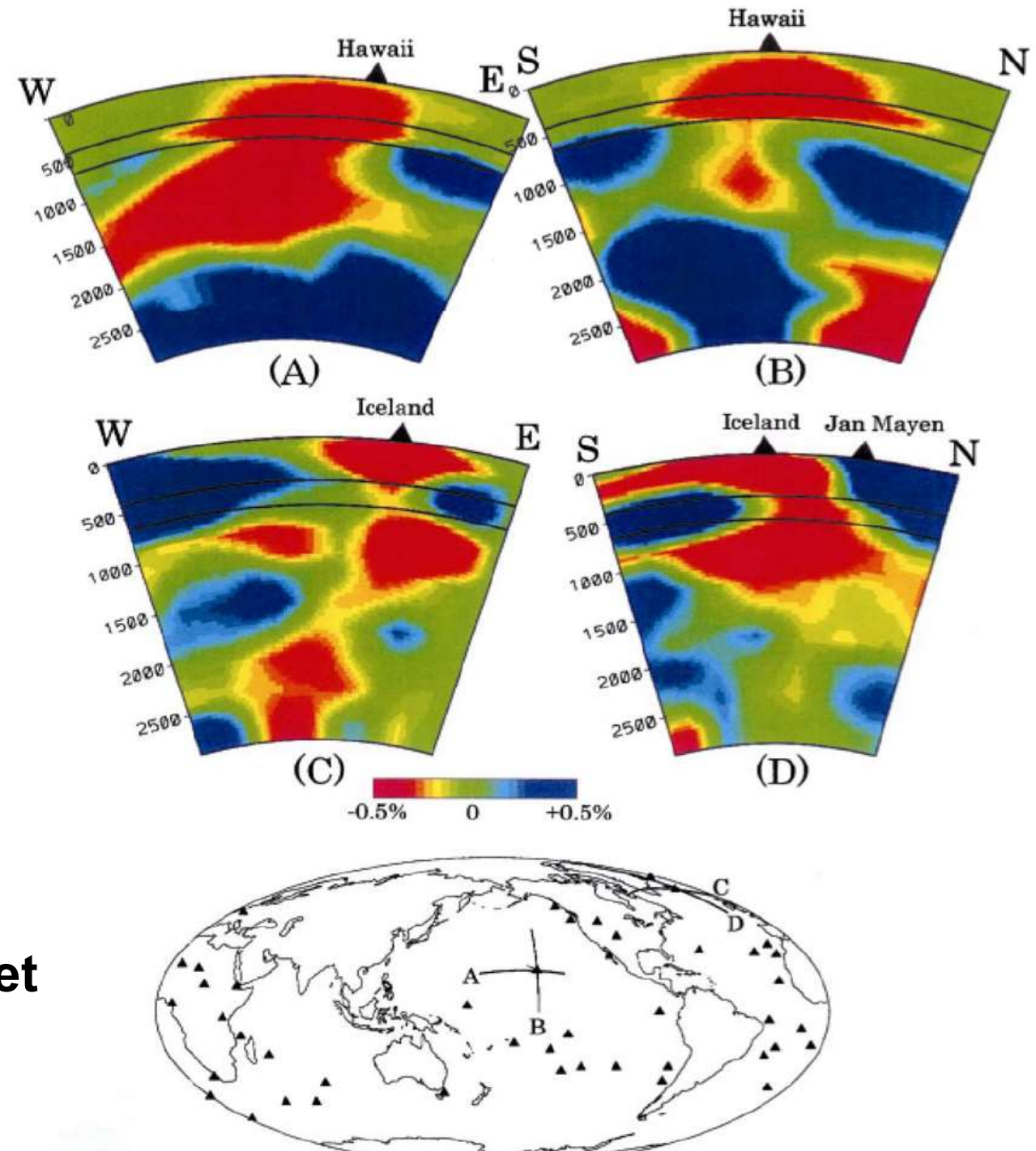
Âges des fonds océaniques

Document 12. Composition normalisée (ici rapportée à la composition d'une chondrite) de basaltes de dorsale (MORB) et de basaltes d'îles océaniques (OIB).





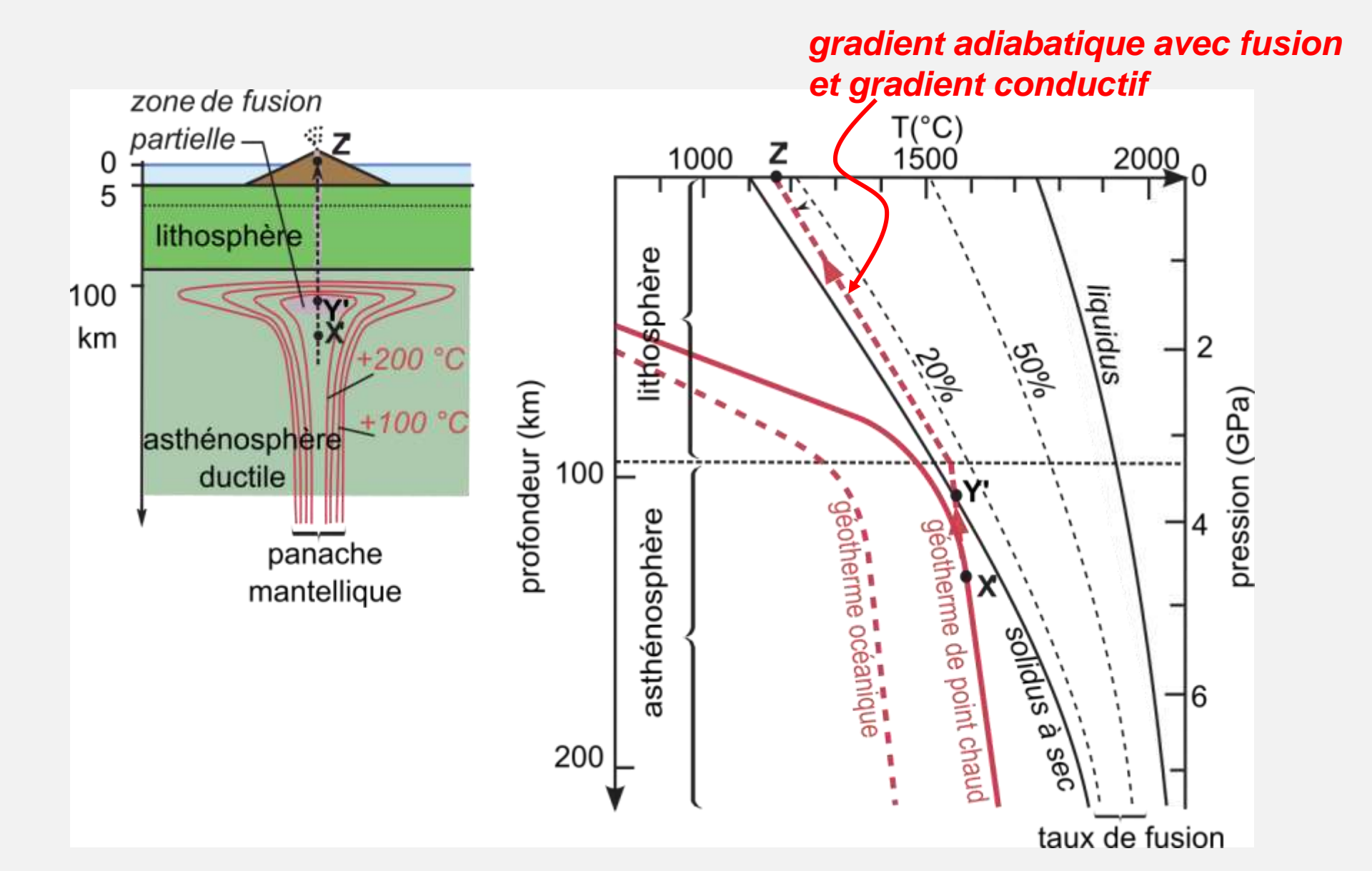
<u>Document 13.</u> Analyse chimique (% pondéraux) de différentes roches volcaniques échantillonnées au niveau du Piton des neiges à La Réunion (BRGM).



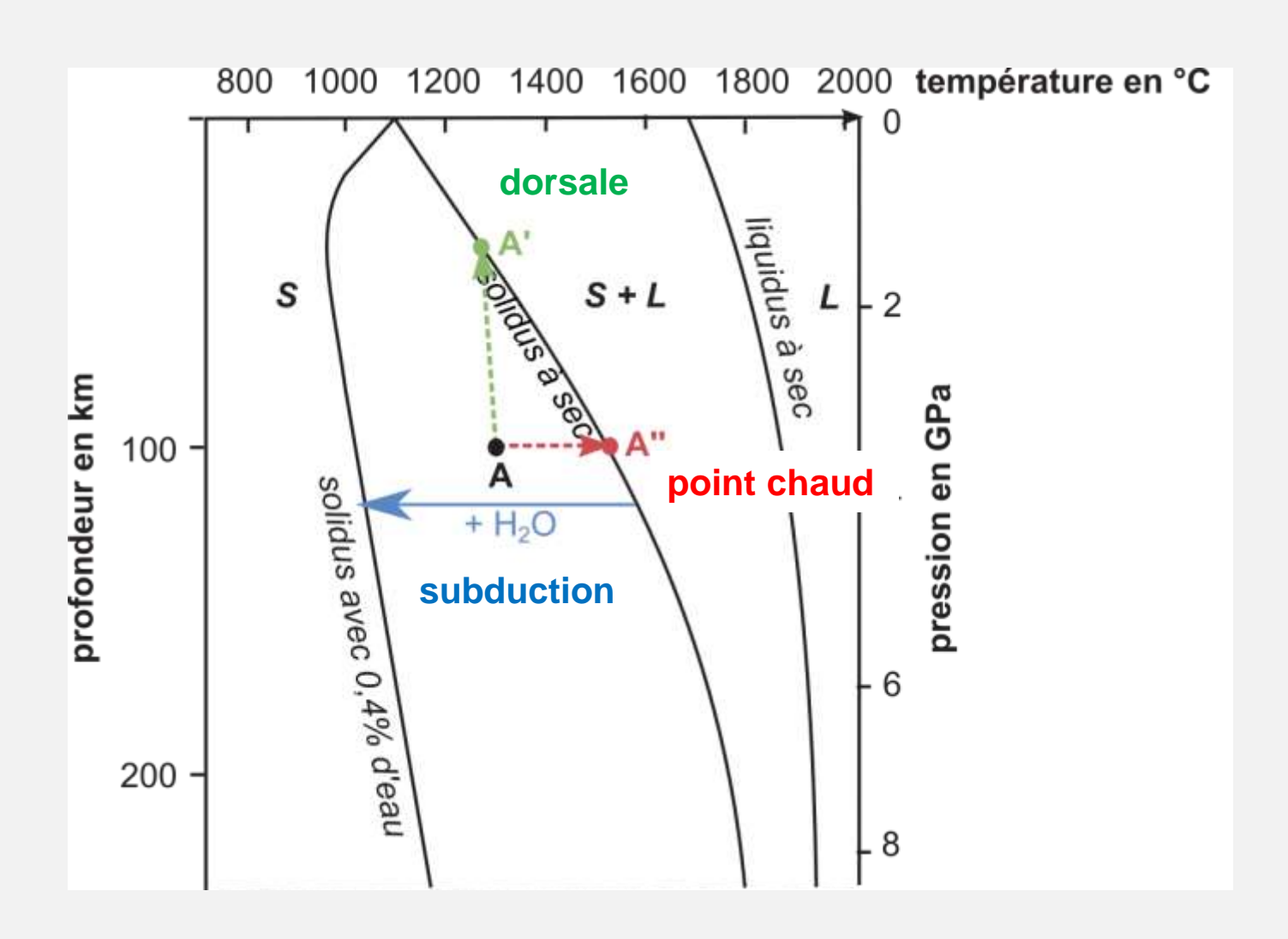
Images tomographiques au niveau de l'Islande et de l'archipel d'Hawaï.

(http://www.cnrs.fr)

Document 14. Les conditions de la fusion mantellique en contexte de point chaud.



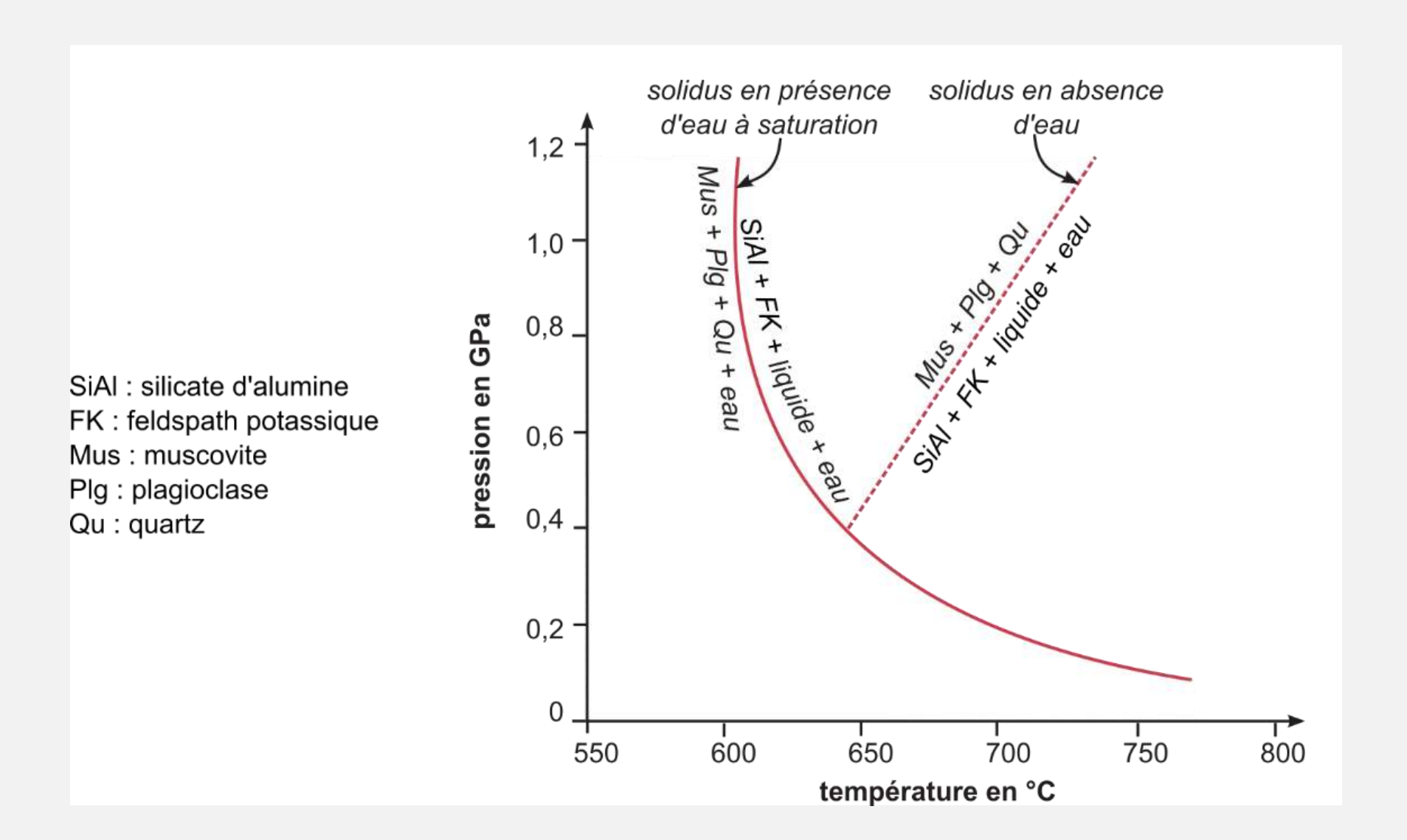
Document 2. Solidus et liquidus d'une lherzolite.



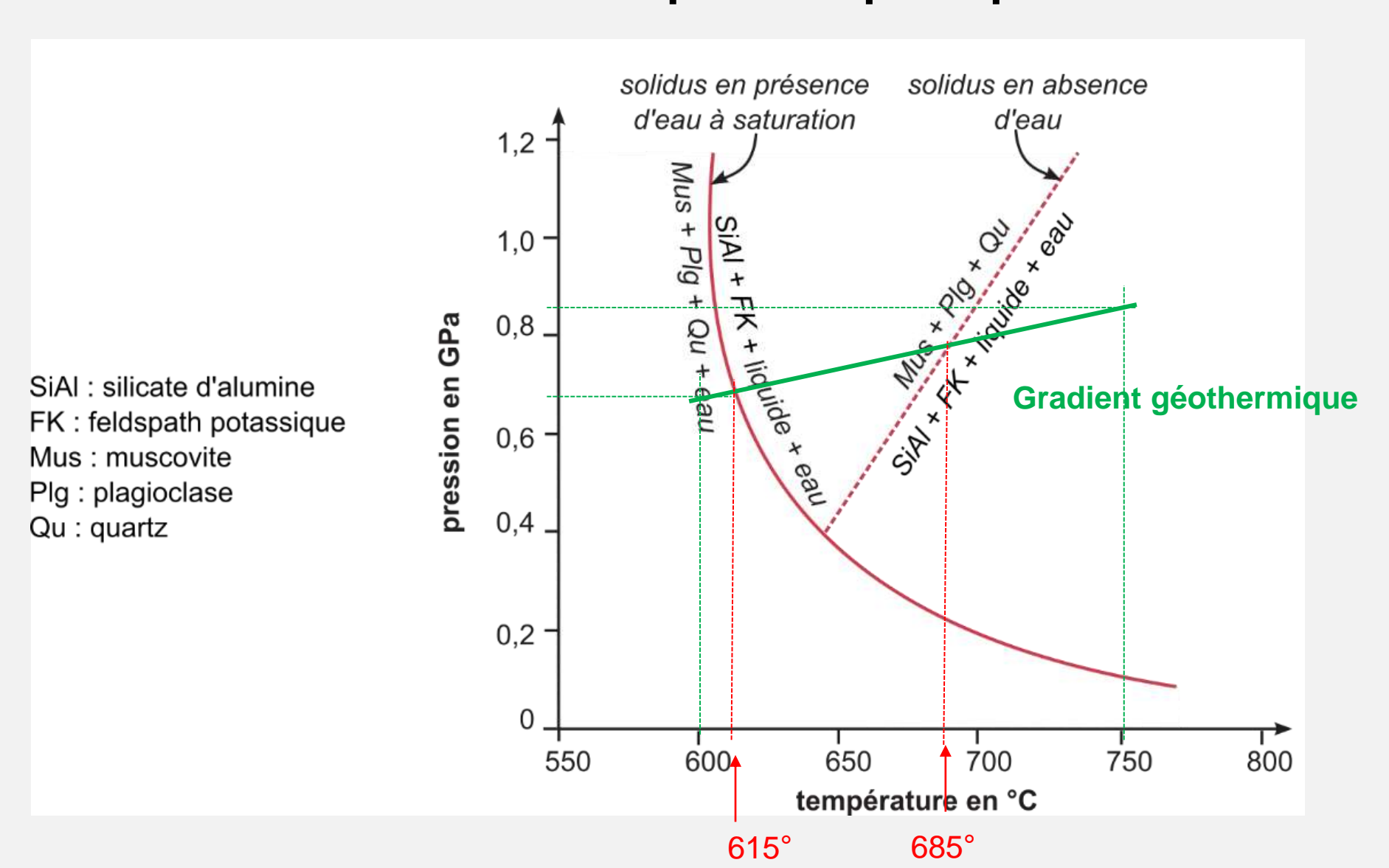
Document 15. Composition moyenne des leucogranites himalayens (1) et résultats de fusion partielle de matériel de composition pélitique et comprenant albite - quartz - mica (muscovite) (2).

Oxydes (% massique)	(1)	(2)		
SiO ₂	73,64	73,68-75,60		
TiO ₂	0,10	0,06-0,29		
Al_2O_3	14,87	14,95-16,17		
FeO ^T	1,30	0,73-1,08		
MgO	0,11	0,17-0,39		
CaO	0,47	0,42-1,15		
Na ₂ O	4,05	3,07-4,92		
K ₂ O	4,56	3,40-5,19		

Document 16. Les caractères de la fusion partielle d'un matériel de composition pélitique.



Document 16. Les caractères de la fusion partielle d'un matériel de composition pélitique.



Classification simplifiée des roches magmatiques

Excès de silice		de silice	Equilibre de silice			Déficit de silice	
Origine	Minéraux	Quartz + Feldspaths		Feldspaths seuls			Felspaths
et	clairs	Orthose	Plagioclases	Orthose	Plagioclases	Plagioclases	et
structure	Minéraux	+/-	seuls	+/-	Anorthite<50	Anorthite	felspathoïdes
	sombres	Plagioclases	30013	Plagioclases		>50	Telopatriolides
Roches	Biotite	<u>Granite</u>	Granodiorite*	Syénite			
plutoniques	Amphibole				<u>Diorite</u>		
=							Syénite
Structure	Pyroxène					<u>Gabbro</u>	néphélinique
grenue	Olivine						
Roches	Biotite	<u>Rhyolite</u>					
Volcaniques	Amphibole			<u>Trachyte</u>			Phonolite
=					<u>Andésite</u>		
Structure	Pyroxène					<u>Basalte</u>	Basanite
microlithique	Olivine						

Nota:

- les roches ultrabasiques (péridotites s. l.) ne sont pas prises en compte dans cette classification ;
- les roches sont en italique, seules les roches soulignées sont à connaître.

^{*} parfois quelques pyroxènes